

行人检测



主讲人 张士峰

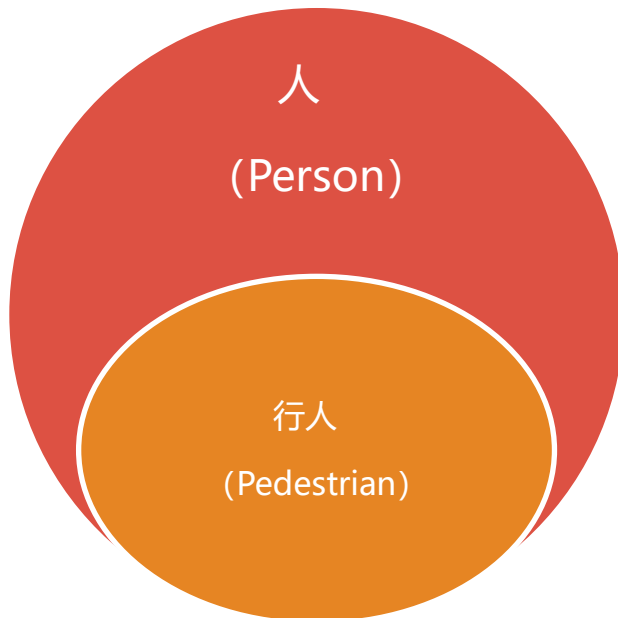
中国科学院自动化研究所
模式识别国家重点实验室





内容回顾：人 (Person) 和行人 (Pedestrian)

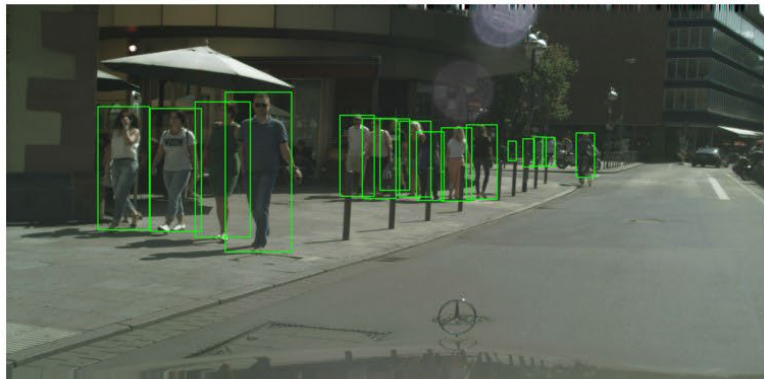
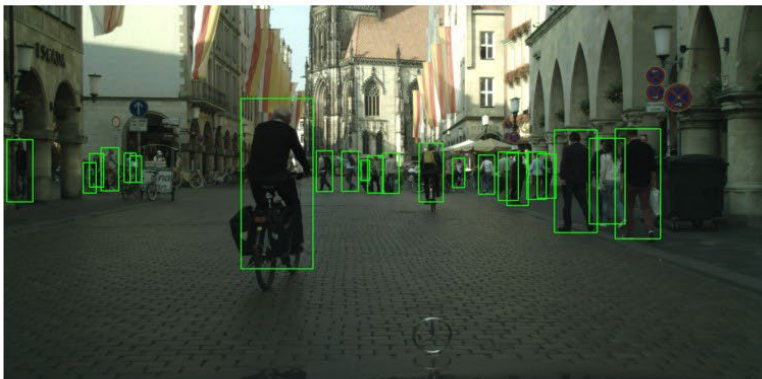
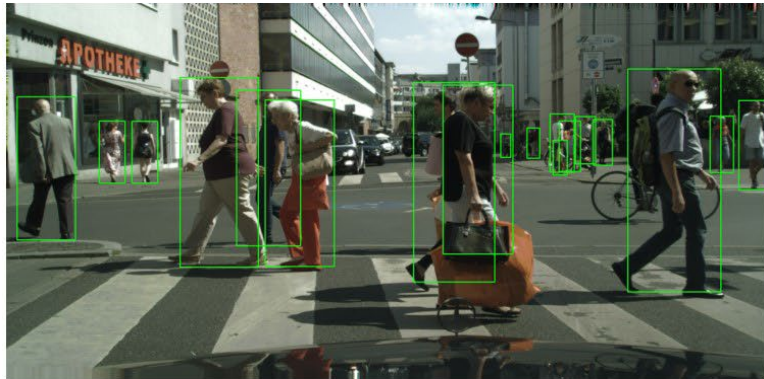
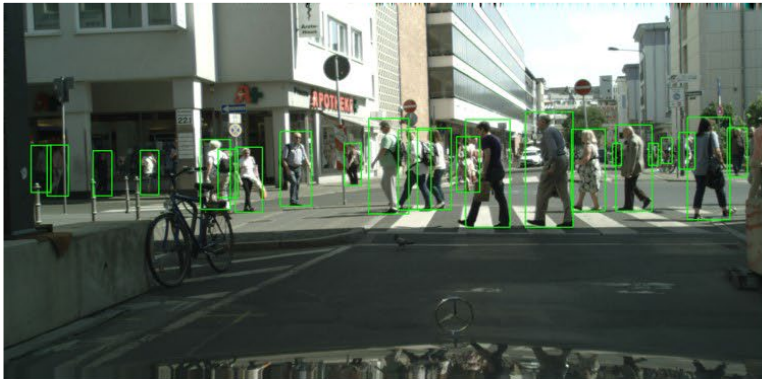
- 人 (Person): 各种各样的人
- 行人 (Pedestrian): 步行 (走着或跑着) 的人





内容回顾：行人检测的定义

- 行人检测：判断一副图像上是否存在行人，如果存在，就给出所有行人的位置





内容回顾：行人检测数据集

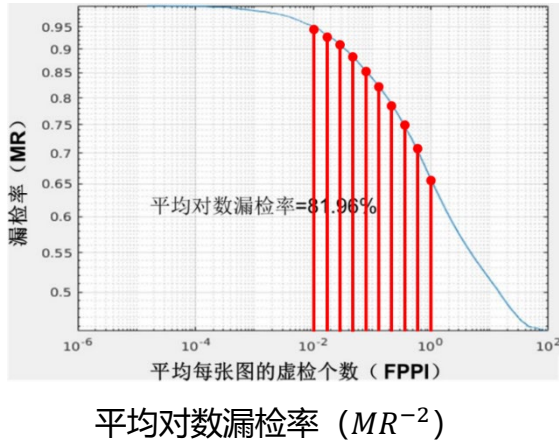
数据库	图片数量				标注类型				难度
	总共	训练集	测试集	验证集	可见行人	完整行人	人头	固定比例	
Caltech-USA	46806	42782	4024	0	✗	✓	✗	✓	★★
CityPersons	5000	2975	1525	500	✓	✓	✗	✓	★★★
CrowdHuman	24370	15000	5000	4370	✗	✗	✗	✗	★★★★★
WiderPerson	13382	8000	4382	1000	✗	✓	✗	✓	★★★★
EuroCityPersons	47325	28114	14175	5036	✓	✓	✗	✗	★★★★





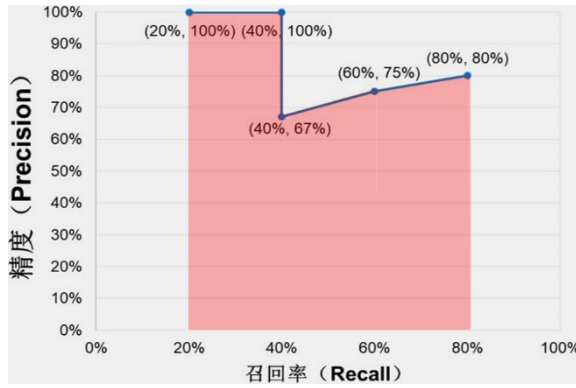
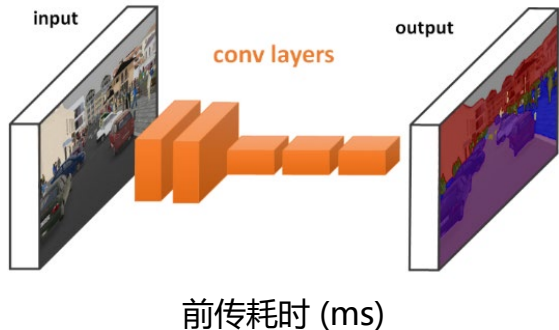
内容回顾：行人检测评价指标

检测精度

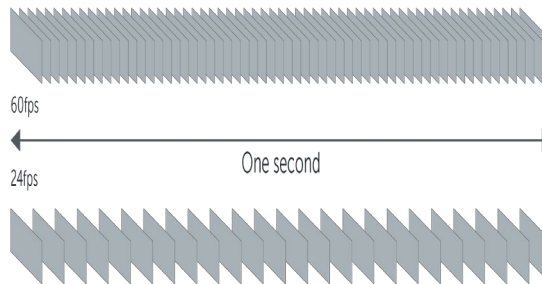


平均对数漏检率 (MR^{-2})

检测速度



平均精度 (AP)



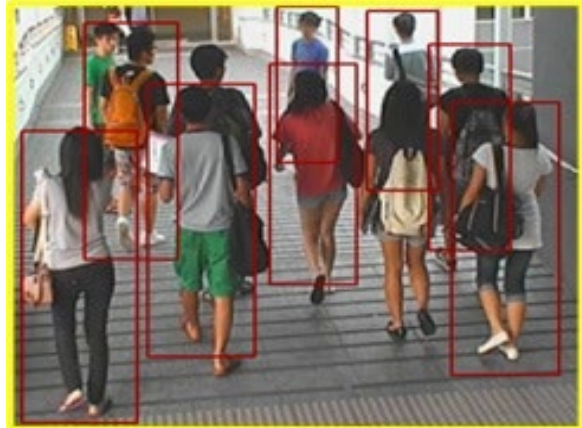
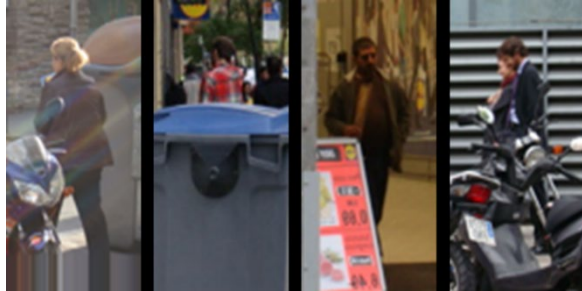


内容回顾：行人检测的难点

- 行人是可形变的



- 行人存在着各种各样的遮挡



- 行人检测中存在很多难样本





内容回顾：传统行人检测Dalal算法



输入图像

图像
缩放



图像金字塔

滑窗
128x64



滑窗图像



计算HOG
特征

SVM分
类器



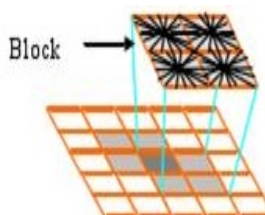
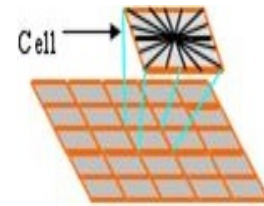
检测结果





内容回顾：传统行人检测Dalal算法

■ HOG特征计算流程

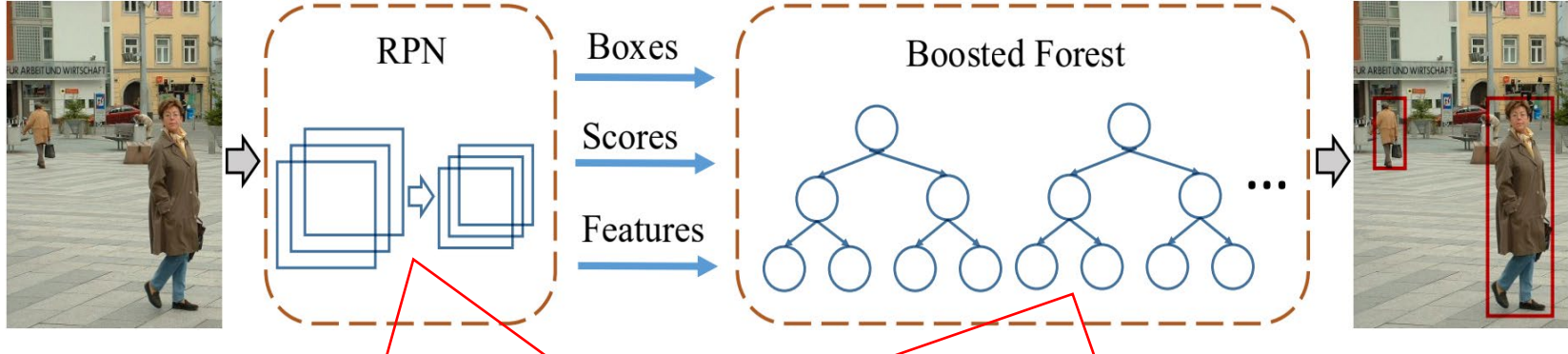


3780维
特征向量
 $f = [1, \dots, N]$





内容回顾：深度学习早期行人检测算法RPN+BF



- **问题：**小尺度的人可利用的特征太少，不利于后续的分类和回归
- **方案：**从更浅的、分辨率更高的特征层上来进行特征扣取，从不同分辨率的特征层上扣取特征并进行融合，去掉下采样 + 空洞卷积，来增加特征层的分辨率

- **问题：**行人检测中，分类错误主要是难负样本的混淆，即把背景分为行人，而Faster R-CNN中第二阶段的Fast R-CNN不能很好的处理这些难负样本
- **方案：**采用级联的Boosted Forest (BF) 来替换Fast R-CNN，级联BF输入RoIPooling后的特征，并挖掘困难负样本，CNN特征比手工特征更加高效，更具表现力





目录

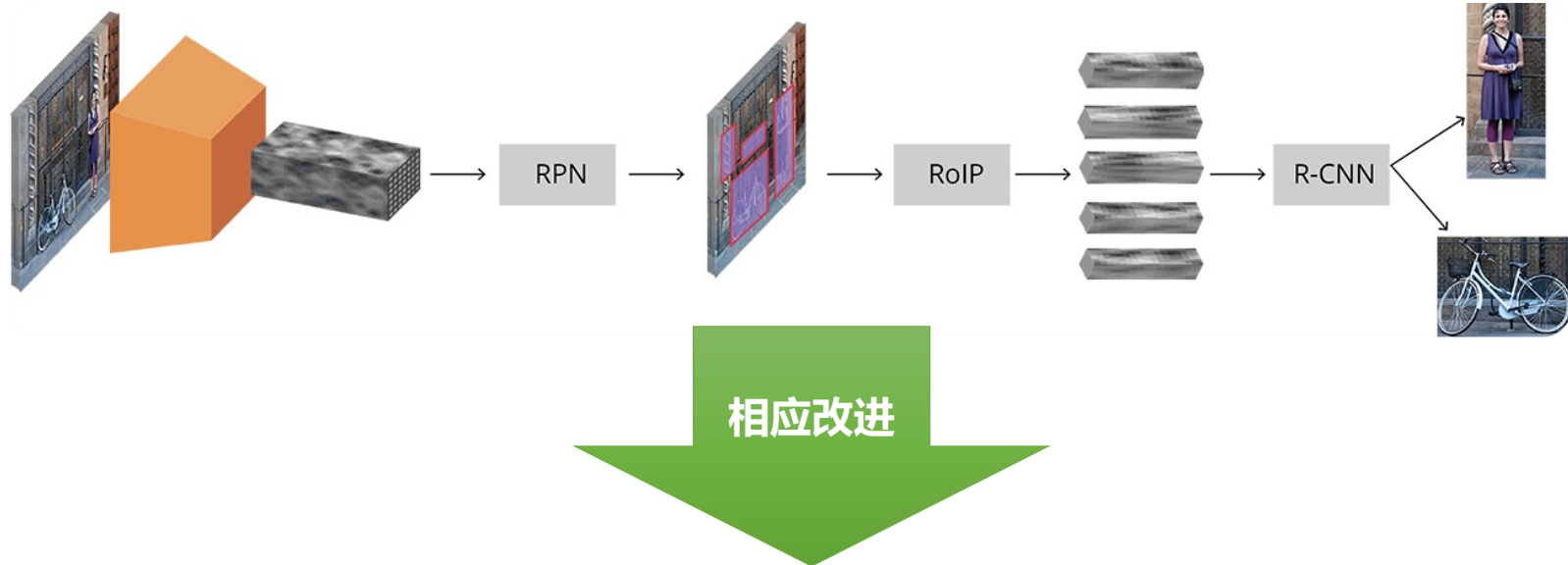
-  行人检测概述
-  传统行人检测算法
-  深度学习早期行人检测算法
-  深度学习后期行人检测算法





深度学习后期行人检测算法

- 深度学习后期行人检测算法：对**通用物体检测算法Faster R-CNN**进行**相应改进**，应用于**行人检测领域**



行人检测算法

Adapted FasterRCNN

Repulsion Loss

OR-CNN

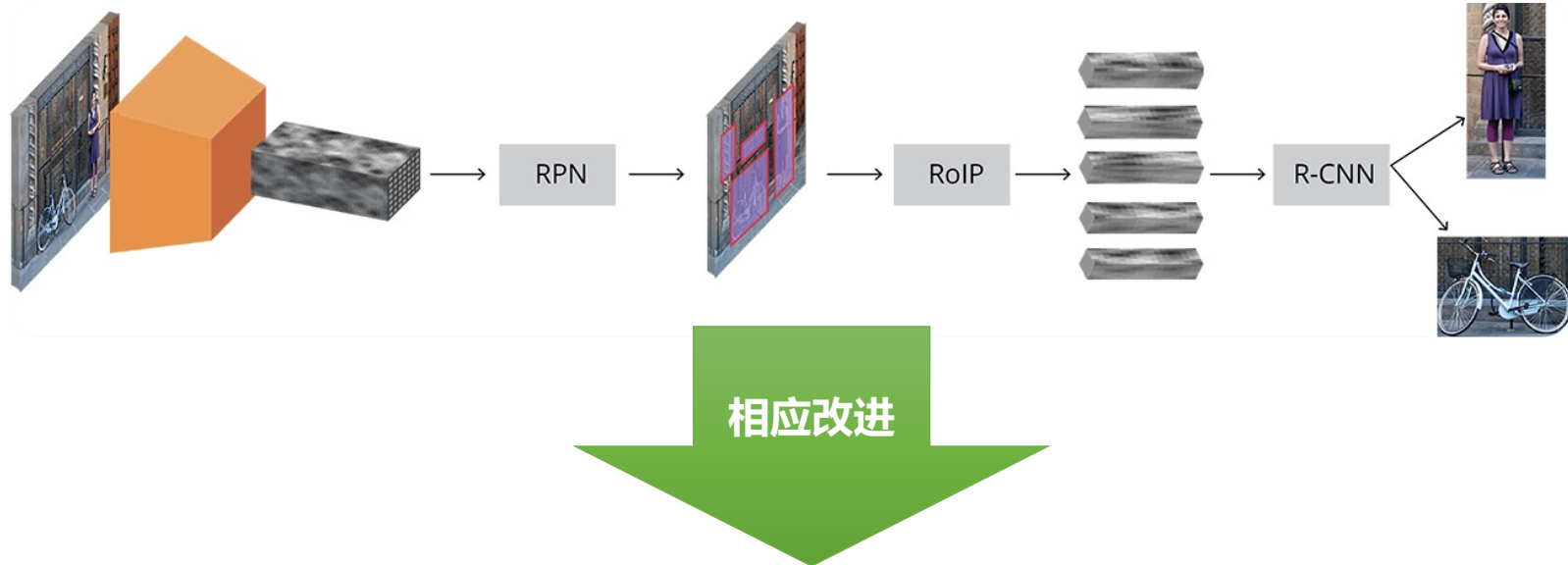
JointDet





深度学习后期行人检测算法

- 深度学习后期行人检测算法：对**通用物体检测算法Faster R-CNN**进行**相应改进**，应用于**行人检测领域**



行人检测算法

Adapted FasterRCNN

Repulsion Loss

OR-CNN

JointDet





深度学习后期行人检测算法：Adapted FasterRCNN

- 2017年CVPR上提出的CityPersons数据集中，作者所构建的baseline算法
- 对通用物体检测算法Faster R-CNN进行简单的调整改进应用于行人检测领域
- 改进点：①重新设计锚框 ②放大输入图像 ③优化器SGD->Adam ④忽略区域不采负样本 ⑤增加特征的分辨率

CityPersons: A Diverse Dataset for Pedestrian Detection

Shanshan Zhang, Rodrigo Benenson and Bernt Schiele

Max Planck Institute for Informatics

Saarbrücken, Germany

`firstname.lastname@mpi-inf.mpg.de`





Adapted FasterRCNN行人检测算法

■ 原始Faster R-CNN算法

- 基于原始Faster R-CNN算法
- 用CalTech训练集进行训练
- 训练图像大小为640x480
- 修改锚框比例为0.41
- 其他的超参数保持不变
- 在CalTech测试集进行评测
- 平均对数漏检率为20.98%

Detector aspect	MR^O	ΔMR
FasterRCNN-vanilla	20.98	-
+ quantized rpn scales	18.11	+ 2.87
+ input up-scaling	14.37	+ 3.74
+ Adam solver	12.70	+ 1.67
+ ignore region handling	11.37	+ 1.33
+ finer feature stride	10.27	+ 1.10
FasterRCNN-ours	10.27	+ 10.71





Adapted FasterRCNN行人检测算法

■ 原始Faster R-CNN算法

■ 重新设计锚框

- RPN有3个锚框尺度: 128、256、512
- 这些尺度不能很好的适合行人这一目标
- 统计CalTech数据集上行人尺度的分布
- 根据这一统计信息重新设计锚框的尺度
- 使得锚框尺度更加适应行人这一目标
- 11个锚框尺度: $8 * [2.0, 2.7, 3.64, 4.92, 6.64, 8.97, 12.11, 16.34, 22.06, 29.79, 40.21]$
- 平均对数漏检率提升2.87个点

Detector aspect	MR ^O	ΔMR
FasterRCNN-vanilla	20.98	-
+ quantized rpn scales	18.11	+ 2.87
+ input up-scaling	14.37	+ 3.74
+ Adam solver	12.70	+ 1.67
+ ignore region handling	11.37	+ 1.33
+ finer feature stride	10.27	+ 1.10
FasterRCNN-ours	10.27	+ 10.71





Adapted FasterRCNN行人检测算法

■ 原始Faster R-CNN算法

■ 重新设计锚框

■ 放大输入图像

- 原始输入图像大小为640x480
- 放大2倍输入图像变为1280x960
- 训练时图像被放大2倍
- 测试时也被放大2倍
- 输入图像放大后，行人尺度变大2倍，小尺度行人减少
- 平均对数漏检率提升3.74个点

Detector aspect	MR^O	ΔMR
FasterRCNN-vanilla	20.98	-
+ quantized rpn scales	18.11	+ 2.87
+ input up-scaling	14.37	+ 3.74
+ Adam solver	12.70	+ 1.67
+ ignore region handling	11.37	+ 1.33
+ finer feature stride	10.27	+ 1.10
FasterRCNN-ours	10.27	+ 10.71





Adapted FasterRCNN行人检测算法

- 原始Faster R-CNN算法

- 重新设计锚框

- 放大输入图像

- 优化器SGD->Adam

- 原始Faster R-CNN使用SGD优化器
- 改用Adam优化器
- 平均对数漏检率提升1.67个点

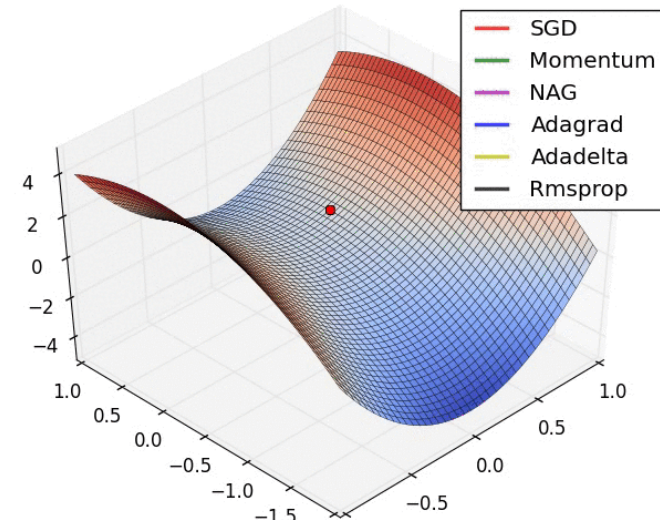
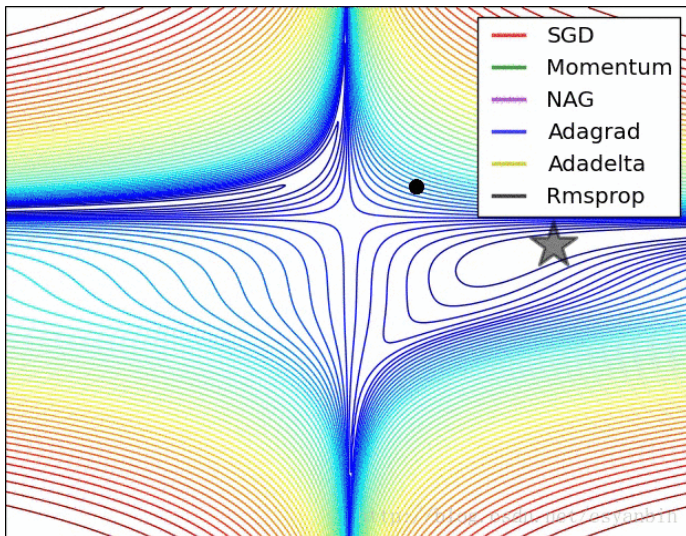
Detector aspect	MR^O	ΔMR
FasterRCNN-vanilla	20.98	-
+ quantized rpn scales	18.11	+ 2.87
+ input up-scaling	14.37	+ 3.74
+ Adam solver	12.70	+ 1.67
+ ignore region handling	11.37	+ 1.33
+ finer feature stride	10.27	+ 1.10
FasterRCNN-ours	10.27	+ 10.71





Adapted FasterRCNN行人检测算法：Adam优化器

- SGD是深度学习中用的最多的优化器，但并不是唯一的优化器，还有很多其他优化器
- Adam优化器对梯度的均值和梯度的未中心化的方差进行综合考虑，计算出更新步长
- 在某些任务中，Adam优化器的效果会好一些，某些任务中则没有提升，需要亲自尝试





Adapted FasterRCNN行人检测算法

■ 原始Faster R-CNN算法

■ 重新设计锚框

■ 放大输入图像

■ 优化器SGD->Adam

■ 忽略区域不采负样本

- 行人检测数据集中有忽略区域的标注

- 忽略区域一般为密集的人群或其他非行人的人

- 它们与行人类似，不能当做负样本训练，故在忽略区域中不采负样本

- 平均对数漏检率提升1.33个点

Detector aspect	MR ^O	ΔMR
FasterRCNN-vanilla	20.98	-
+ quantized rpn scales	18.11	+ 2.87
+ input up-scaling	14.37	+ 3.74
+ Adam solver	12.70	+ 1.67
+ ignore region handling	11.37	+ 1.33
+ finer feature stride	10.27	+ 1.10
FasterRCNN-ours	10.27	+ 10.71

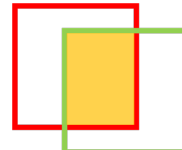




Adapted FasterRCNN行人检测算法：忽略区域的处理



- 红色框是忽略区域标注
- 绿色框是一个为负样本的锚框
- 如果该负样本，它在忽略区域的面积与自身面积的比值大于0.5，则忽略该负样本



交集的面积
负样本的面积

> 0.5





Adapted FasterRCNN行人检测算法

- 原始Faster R-CNN算法
- 重新设计锚框
- 放大输入图像
- 优化器SGD->Adam
- 忽略区域不采负样本
- 增加特征的分辨率

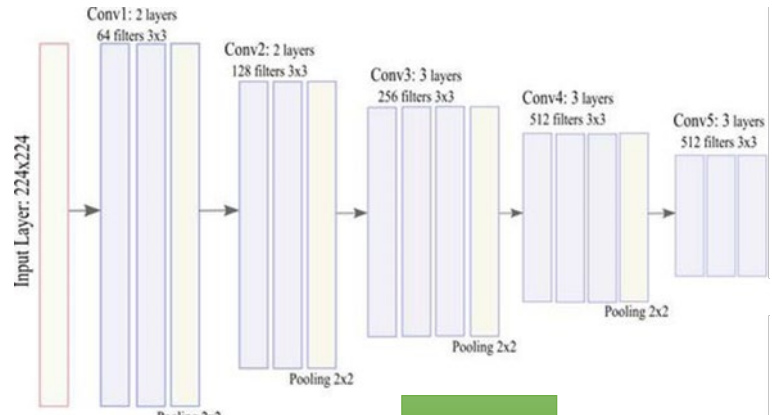
Detector aspect	MR ^O	ΔMR
FasterRCNN-vanilla	20.98	-
+ quantized rpn scales	18.11	+ 2.87
+ input up-scaling	14.37	+ 3.74
+ Adam solver	12.70	+ 1.67
+ ignore region handling	11.37	+ 1.33
+ finer feature stride	10.27	+ 1.10
FasterRCNN-ours	10.27	+ 10.71

- 去掉第4个Max-Pooling层，把检测层的分辨率增大一倍，使用空洞卷积弥补感受野
- 特征分辨率更高，能够利用的信息变多，对小尺度行人效果提升明显
- 平均对数漏检率提升1.10个百分点



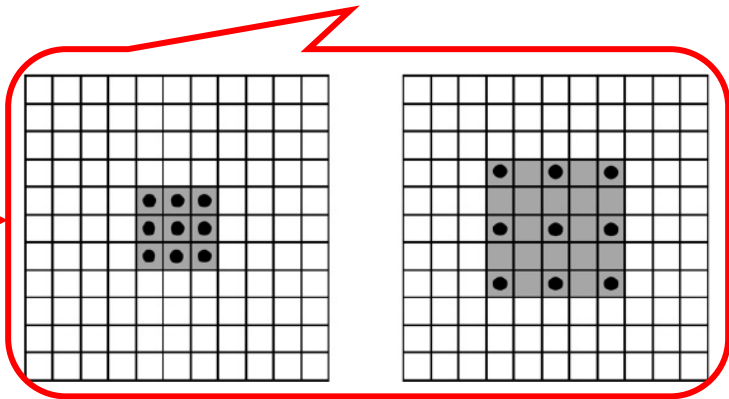
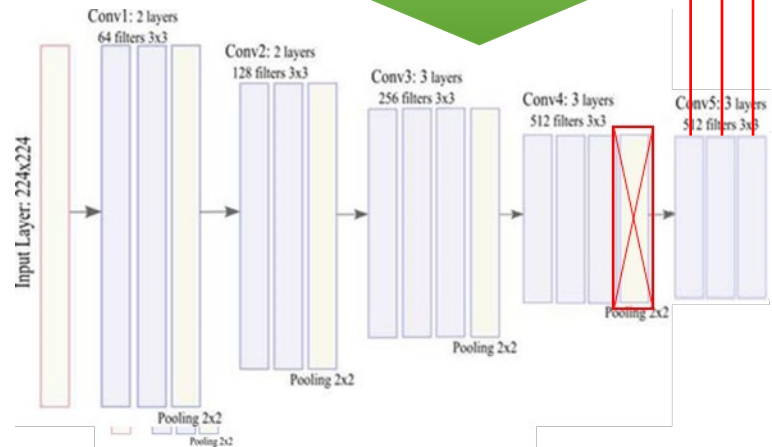


Adapted FasterRCNN行人检测算法：特征强化



去掉第4个
Pooling

空洞卷积：卷积核之间有间隙，以增大感受野





Adapted FasterRCNN行人检测算法

- 原始Faster R-CNN算法
- 重新设计锚框
- 放大输入图像
- 优化器SGD->Adam
- 忽略区域不采负样本
- 增加特征的分辨率

Detector aspect	MR ^O	ΔMR
FasterRCNN-vanilla	20.98	-
+ quantized rpn scales	18.11	+ 2.87
+ input up-scaling	14.37	+ 3.74
+ Adam solver	12.70	+ 1.67
+ ignore region handling	11.37	+ 1.33
+ finer feature stride	10.27	+ 1.10
FasterRCNN-ours	10.27	+ 10.71

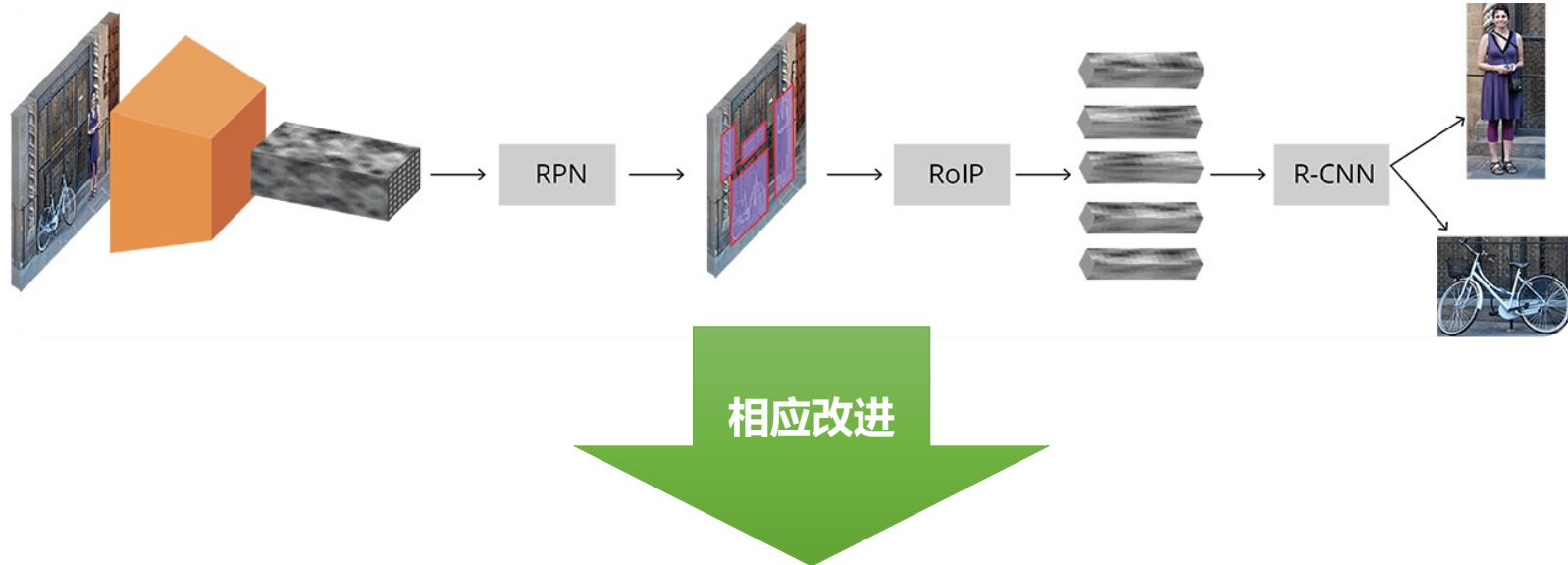
5个简单的调整改进，使得Faster R-CNN算法提升10.71%





深度学习后期行人检测算法

- 深度学习后期行人检测算法：对**通用物体检测算法Faster R-CNN**进行**相应改进**，应用于**行人检测领域**



行人检测算法

Adapted FasterRCNN

Repulsion Loss

OR-CNN

JointDet





深度学习后期行人检测算法：Repulsion Loss

- 2018年CVPR上提出的行人检测算法，在Adapted FasterRCNN基础上，对回归损失函数进行改进
- 在原有的SmoothL1回归损失函数基础上，额外添加了一个排斥损失项

Repulsion Loss: Detecting Pedestrians in a Crowd

Xinlong Wang^{1*} Tete Xiao^{2*} Yuning Jiang³

¹Tongji University

1452405wx1@tongji.edu.cn

³Megvii, Inc.

jyn, shaoshuai, sunjian@megvii.com

Shuai Shao³ Jian Sun³ Chunhua Shen⁴

²Peking University

jasonhsiao97@pku.edu.cn

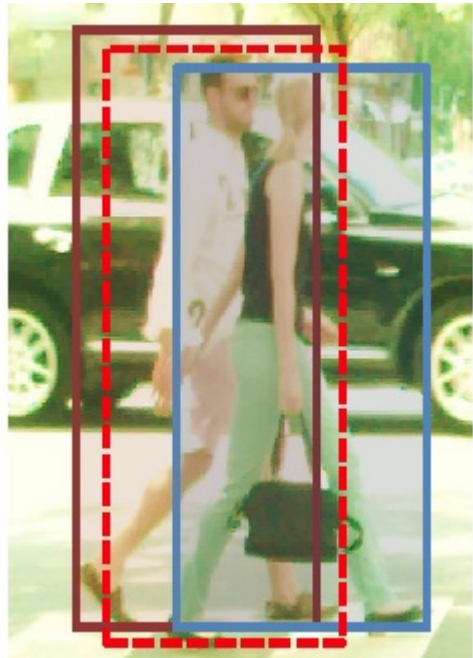
⁴The University of Adelaide

chunhua.shen@adelaide.edu.au





Repulsion Loss行人检测算法



- Target Groundtruth T
- Surrounding Groundtruth B
- Predicted Box (for the target)

■ 行人检测中的遮挡问题

两种遮挡

背景物体遮住行人

行人之间的遮挡



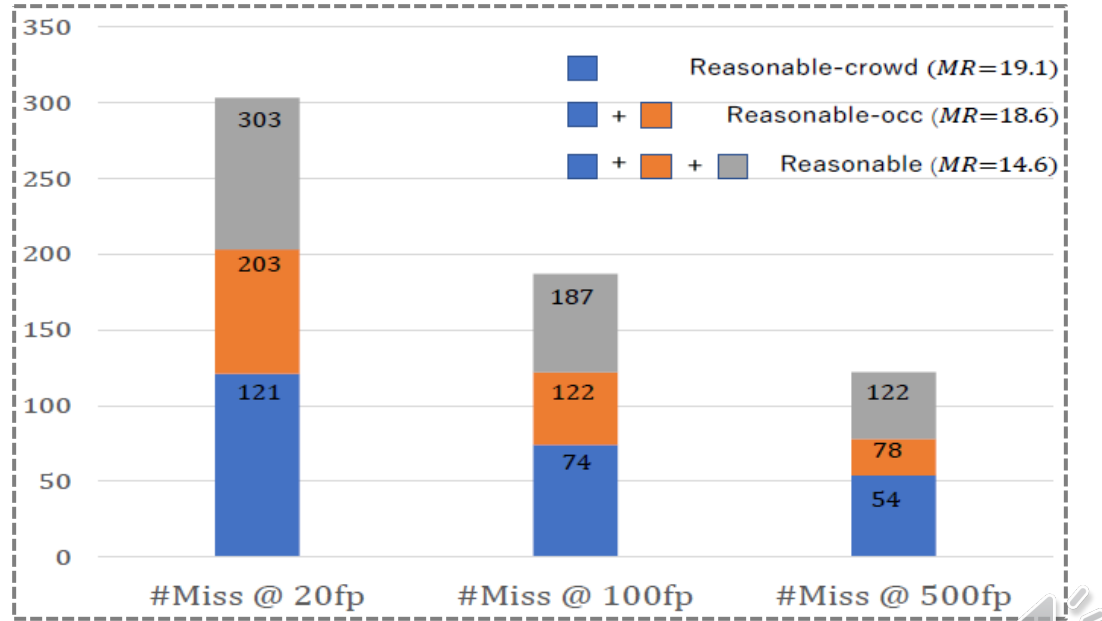


Repulsion Loss行人检测算法



- Target Groundtruth T
- Surrounding Groundtruth B
- Predicted Box (for the target)

- 下图为不同虚检个数时，漏检个数的分布情况，其中蓝色为被其他行人遮挡的行人，红色为被背景物体遮挡的行人，灰色为其他



行人之间的遮挡带来的漏检最为明显！！！





Repulsion Loss行人检测算法



- Target Groundtruth T
- Surrounding Groundtruth B
- Predicted Box (for the target)

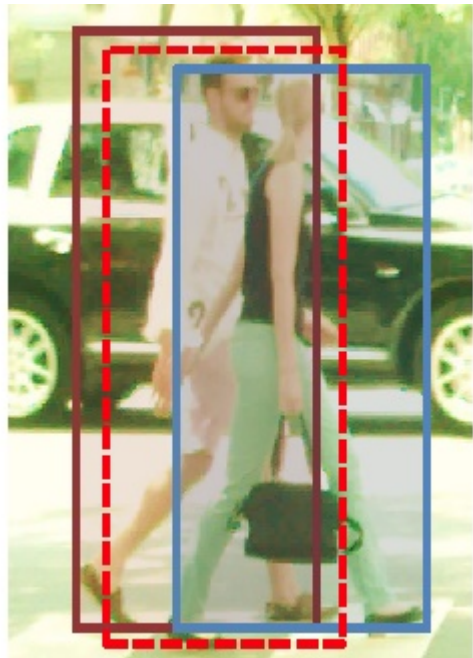
■ 行人检测中行人之间的遮挡所带来的影响

- 使得算法在定位上不准确





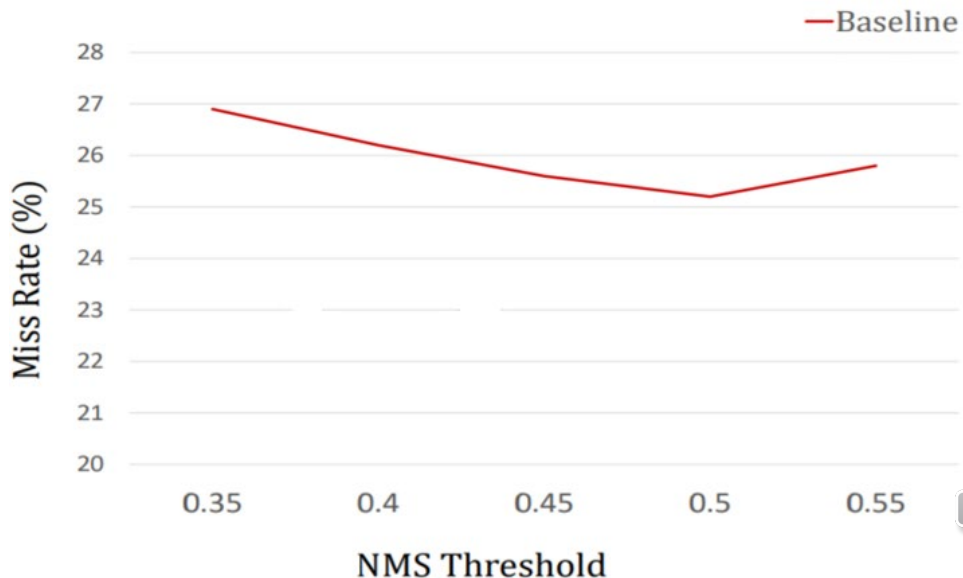
Repulsion Loss行人检测算法



- Target Groundtruth T
- Surrounding Groundtruth B
- Predicted Box (for the target)

■ 行人检测中行人之间的遮挡所带来的影响

- 使得算法在定位上不准确
- 检测精度对NMS的阈值非常敏感





Repulsion Loss行人检测算法



Target Groundtruth T



Surrounding Groundtruth B



Predicted Box (for the target)

■ 行人检测中行人之间的遮挡所带来的影响

- 使得算法在定位上不准确
- 检测精度对NMS的阈值非常敏感

■ 行人检测中存在的挑战

- 如何在密集行人中，精确定位到行人
- 不漏检、不虚检





Repulsion Loss行人检测算法



Target Groundtruth T



Surrounding Groundtruth B



Predicted Box (for the target)

■ 行人检测中行人之间的遮挡所带来的影响

- 使得算法在定位上不准确
- 检测精度对NMS的阈值非常敏感

■ 行人检测中存在的挑战

- 如何在密集行人中，精确定位到行人
- 不漏检、不虚检

■ 可行的解决方案

- 让行人检测框回归的更好更合理





Repulsion Loss行人检测算法



Target Groundtruth T



Surrounding Groundtruth B



Predicted Box (for the target)

■ SmoothL1回归损失函数

$$\text{SmoothL1 Loss} = \text{Dist}_{attr}(\boxed{}, \boxed{})$$

Attraction Term

- 预测候选区域（红色虚线框）和对应的真实标注（棕色实线框）之间的偏差，从而让红色虚线框更加接近棕色实线框
- 故可称SmoothL1损失函数这一项为吸引项（Attraction Term）





Repulsion Loss行人检测算法



- Target Groundtruth T
- Surrounding Groundtruth B
- Predicted Box (for the target)

■ SmoothL1回归损失函数

$$\text{SmoothL1 Loss} = \text{Dist}_{attr}(\square, \square)$$

Attraction Term

■ Repulsion回归损失函数

$$\text{Repulsion Loss} = \text{Dist}_{attr}(\square, \square) - \text{Dist}_{rep}(\square, \square)$$

Attraction Term Repulsion Term

- 吸引项 (Attraction term): 让正样本接近目标物体 (T)
- 排斥项 (Repulsion term): 让正样本远离非目标物体 (B)





Repulsion Loss行人检测算法

- Repulsion回归损失函数的公式

$$L = L_{\text{Attr}} + \alpha * L_{\text{RepGT}} + \beta * L_{\text{RepBox}}$$





Repulsion Loss行人检测算法

- Repulsion回归损失函数的公式

$$L = L_{Attr} + \alpha * L_{RepGT} + \beta * L_{RepBox}$$



$$L_{Attr} = \frac{\sum_{P \in \mathcal{P}_+} \text{Smooth}_{L1}(P, G_{Attr}^P)}{|\mathcal{P}_+|}$$

- \mathcal{P}_+ 为正样本集合, P 是一个正样本, G_{Attr}^P 是该正样本对应的真实标注
- L_{Attr} 是SmoothL1回归损失函数, 让正样本更加接近其对应的真实标注



- Target Groundtruth T
- Surrounding Groundtruth B
- Predicted Box (for the target)
- Predicted Box (for surrounding GT)





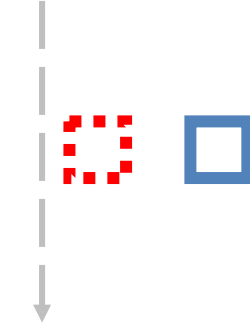
Repulsion Loss行人检测算法

- Repulsion回归损失函数的公式

$$L = L_{Attr} + \alpha * L_{RepGT} + \beta * L_{RepBox}$$



 $L_{Attr} = \frac{\sum_{P \in \mathcal{P}_+} \text{Smooth}_{L1}(P, G_{Attr}^P)}{|\mathcal{P}_+|}$



 $L_{RepGT} = \frac{\sum_{P \in \mathcal{P}_+} \text{Smooth}_{ln}(IoG(P, G_{Rep}^P))}{|\mathcal{P}_+|}$

- \mathcal{P}_+ 为正样本集合， P 是一个正样本， G_{Rep}^P 是该正样本对应的次优的真实标注
- Smooth_{ln}损失函数公式为： $Smooth_{ln} = -\ln(1 - x)$
- L_{RepGT} 是让正样本P远离它的次优的真实标注



	Target Groundtruth T
	Surrounding Groundtruth B
	Predicted Box (for the target)
	Predicted Box (for surrounding GT)





Repulsion Loss行人检测算法

- Repulsion回归损失函数的公式

$$L = L_{Attr} + \alpha * L_{RepGT} + \beta * L_{RepBox}$$

$$L_{Attr} = \frac{\sum_{P \in \mathcal{P}_+} \text{Smooth}_{L1}(P, G_{Attr}^P)}{|\mathcal{P}_+|}$$

$$L_{RepGT} = \frac{\sum_{P \in \mathcal{P}_+} \text{Smooth}_{ln}(IoG(P, G_{Rep}^P))}{|\mathcal{P}_+|}$$

- P_i 是一个正样本， P_j 另外一个跟 P_i 有交集的属于其他真实标注的正样本
- $\text{Smooth}_{ln} = x$
- L_{RepBox} 是让正样本P远离属于其他真实标注的正样本

$$L_{RepBox} = \frac{\sum_{i \neq j} \text{Smooth}_{ln}(IoU(P_i, P_j))}{\sum_{i \neq j} \mathbb{1}[IoU(P_i, P_j) > 0] + \epsilon}$$



□ Target Groundtruth T
□ Surrounding Groundtruth B
□ Predicted Box (for the target)
□ Predicted Box (for surrounding GT)





Repulsion Loss行人检测算法

- Repulsion回归损失函数的公式

$$L = L_{Attr} + \alpha * L_{RepGT} + \beta * L_{RepBox}$$

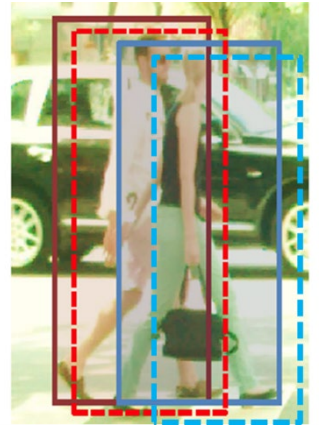
$$L_{Attr} = \frac{\sum_{P \in \mathcal{P}_+} \text{Smooth}_{L1}(P, G_{Attr}^P)}{|\mathcal{P}_+|}$$

$$L_{RepGT} = \frac{\sum_{P \in \mathcal{P}_+} \text{Smooth}_{ln}(IoG(P, G_{Rep}^P))}{|\mathcal{P}_+|}$$

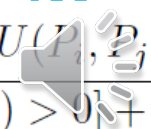
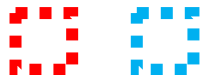
- α 和 β 是两个超参数，同为0.5时效果最好

α (RepGT)	0.3	0.4	0.5	0.6	0.7
β (RepBox)	0.7	0.6	0.5	0.4	0.3
MR^{-2}	13.9	13.9	13.2	13.3	14.1

$$L_{RepBox} = \frac{\sum_{i \neq j} \text{Smooth}_{ln}(IoU(P_i, P_j))}{\sum_{i \neq j} \mathbb{1}[IoU(P_i, P_j) > 0]} + \epsilon$$



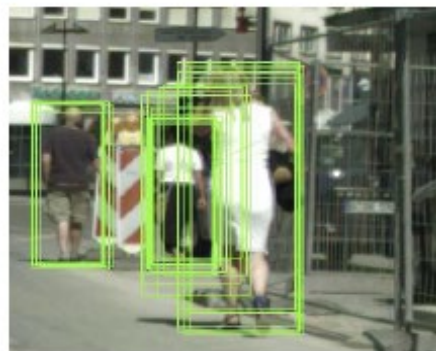
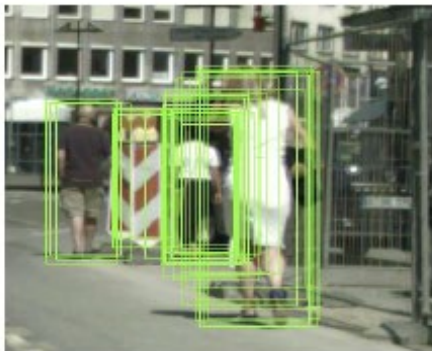
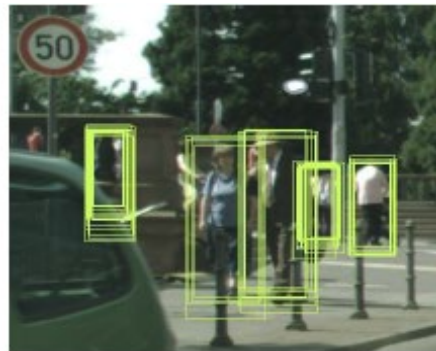
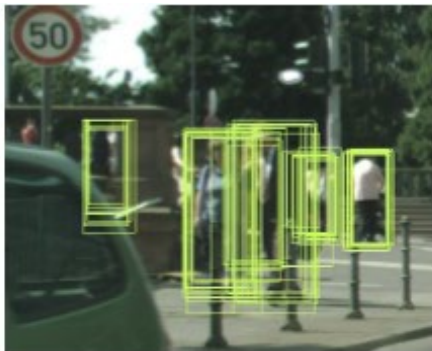
□ Target Groundtruth T
□ Surrounding Groundtruth B
□ Predicted Box (for the target)
□ Predicted Box (for surrounding GT)





Repulsion Loss行人检测算法：作用示意图

- Repulsion损失函数能让属于同一个行人的检测结果更加紧凑，不属于同一个行人的检测结果分得更开



(a) Input

(b) Baseline

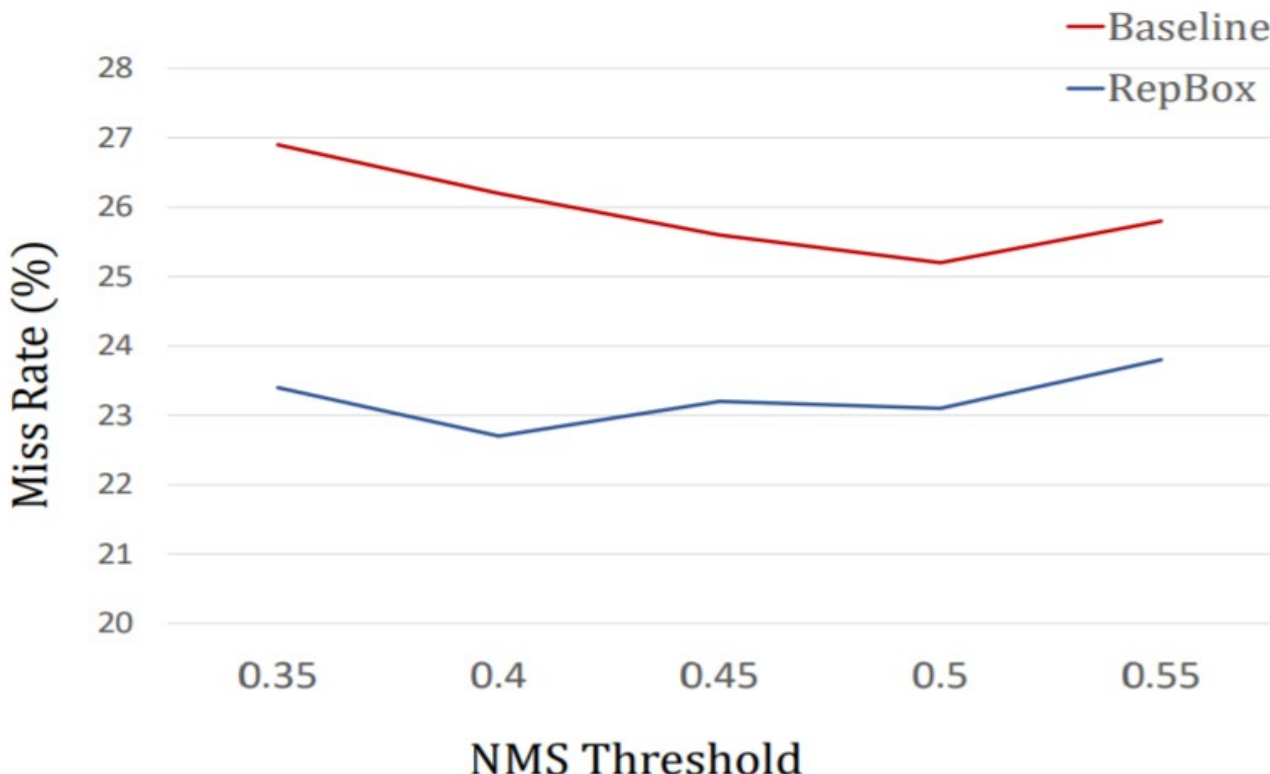
(c) +RepBox





Repulsion Loss行人检测算法：作用示意图

- 与Baseline相比，Repulsion损失函数使得检测精度对非极大值抑制（NMS）的阈值更加鲁棒





Repulsion Loss行人检测算法：有效性验证

- Zhang et al. [31]就是Adapted FasterRCNN，但是没有开源训练代码
- Baseline是作者根据论文描述自己实现的Adapted FasterRCNN
- 所有结果都是在CityPersons的训练集上训练，验证集上测试得到的

Method	+RepGT	+RepBox	+Segmentation	Scale	Reasonable
Zhang et al. [31]			✓	×1	15.4
				×1	14.8
				×1.3	12.8
Baseline				×1	14.6
RepLoss	✓			×1	13.7
		✓		×1	13.7
	✓	✓		×1	13.2
	✓	✓		×1.3	11.6
	✓	✓		×1.5	10.9





Repulsion Loss行人检测算法：有效性验证

Method	mAP	mAP on Crowd
Faster R-CNN [12]	76.4	-
Faster R-CNN (<i>ReIm</i>) + RepGT	79.5 79.8	38.7 40.8

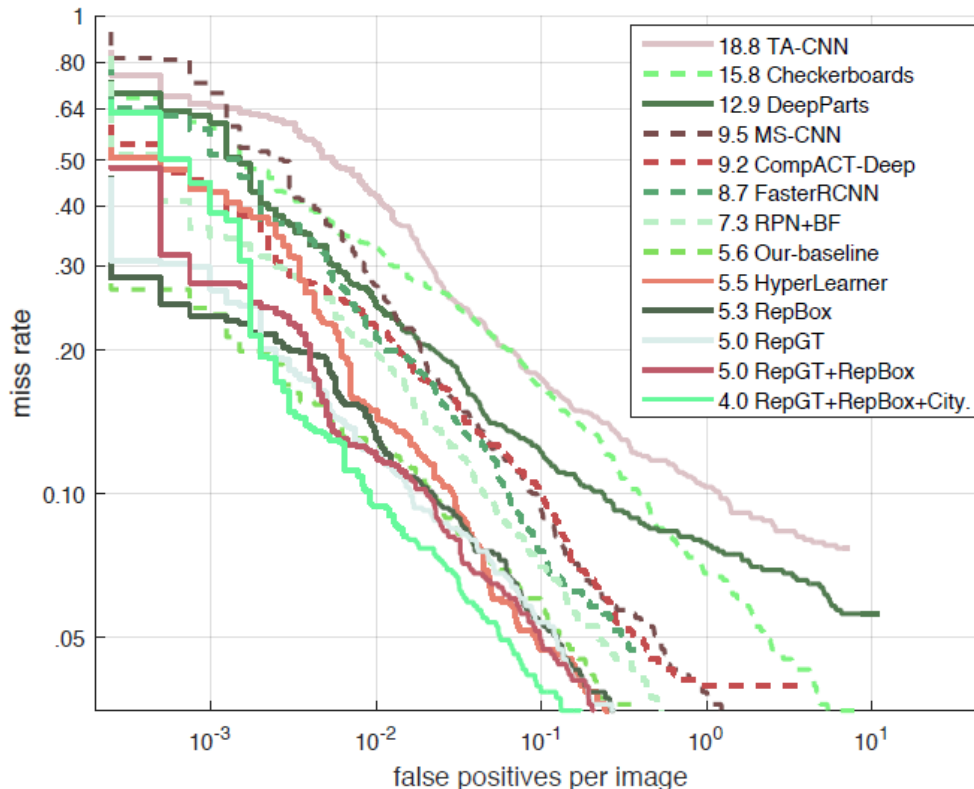
- 在通用物体检测算法上验证Repulsion Loss的有效性
- 上表是在PASCAL VOC 2007上进行训练和测试得到的检测精度
- Faster R-CNN [12]是官方初始版本的检测精度
- Faster R-CNN (ReIm)是复现改进版本的检测精度
- 使用RepGT后能够在整个测试集上带来0.3%的提升
- 但在密集子集上能够带来2.1%的提升





Repulsion Loss行人检测算法：检测精度

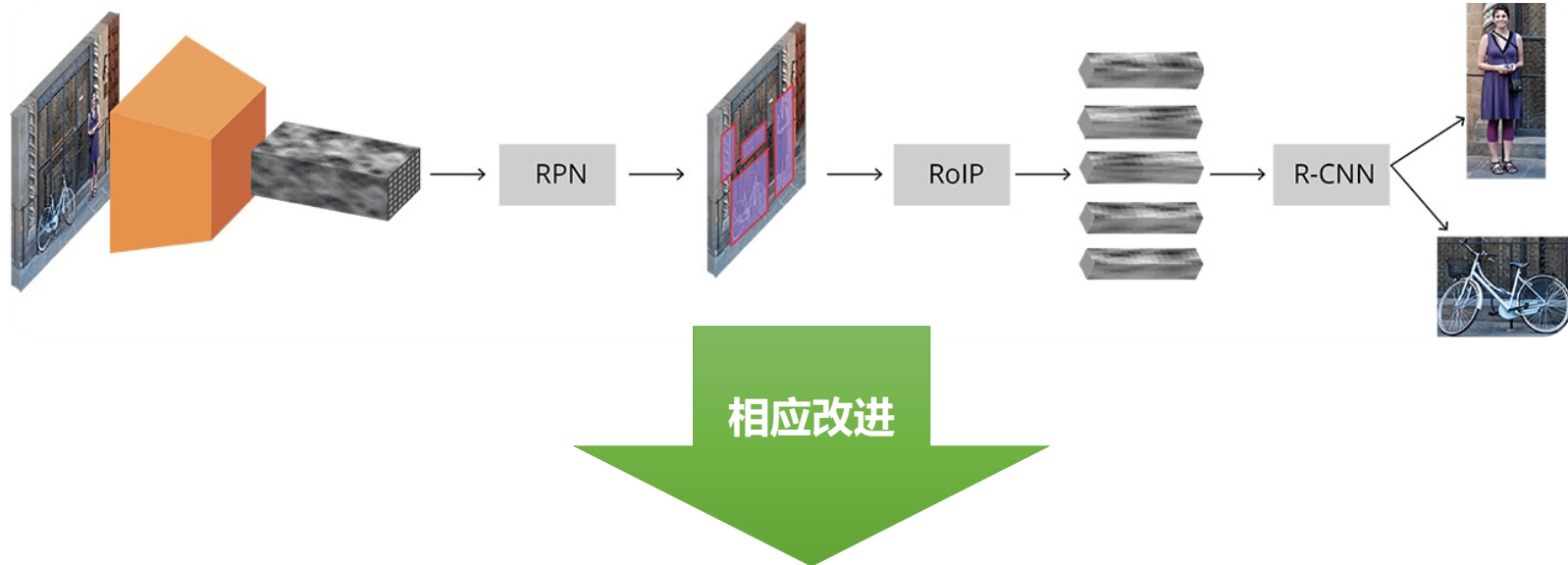
- 在CalTech数据集上的平均对数漏检率为4.0%





深度学习后期行人检测算法

- 深度学习后期行人检测算法：对**通用物体检测算法Faster R-CNN**进行**相应改进**，应用于**行人检测领域**



行人检测算法

Adapted FasterRCNN

Repulsion Loss

OR-CNN

JointDet





深度学习后期行人检测算法：OR-CNN

- 2018年ECCV上发表的行人检测算法，基于Adapted FasterRCNN行人检测算法
- 为了解决遮挡问题，提出分块聚合的行人检测算法OR-CNN

Occlusion-aware R-CNN: Detecting Pedestrians in a Crowd

Shifeng Zhang^{1,2[0000-0003-3109-5770]}, Longyin Wen^{3[0000-0001-5525-492X]},
Xiao Bian^{3[0000-0001-5447-6045]}, Zhen Lei^{1,2★[0000-0002-0791-189X]}, and
Stan Z. Li^{4,1,2[0000-0002-2961-8096]}

¹ Center for Biometrics and Security Research, National Laboratory of Pattern Recognition, Institute of Automation, Chinese Academy of Sciences, Beijing, China

² University of Chinese Academy of Sciences, Beijing, China

³ GE Global Research, Niskayuna, NY

⁴ Macau University of Science and Technology, Macau, China
{shifeng.zhang,zlei,szli}@nlpr.ia.ac.cn, {longyin.wen,xiao.bian}@ge.com





OR-CNN行人检测算法：遮挡问题

- **类间互遮挡**: 行人被其他非行人物体遮住，
导致行人的部分特征消失，并引入了噪声特
征



类间互遮挡





OR-CNN行人检测算法：遮挡问题

- **类间互遮挡**: 行人被其他非行人物体遮住，导致行人的部分特征消失，并引入了噪声特征



类间互遮挡



- **类内自遮挡**: 行人之间相互遮挡，使得行人之间混在一块不易分开导致漏检或虚检



类内自遮挡



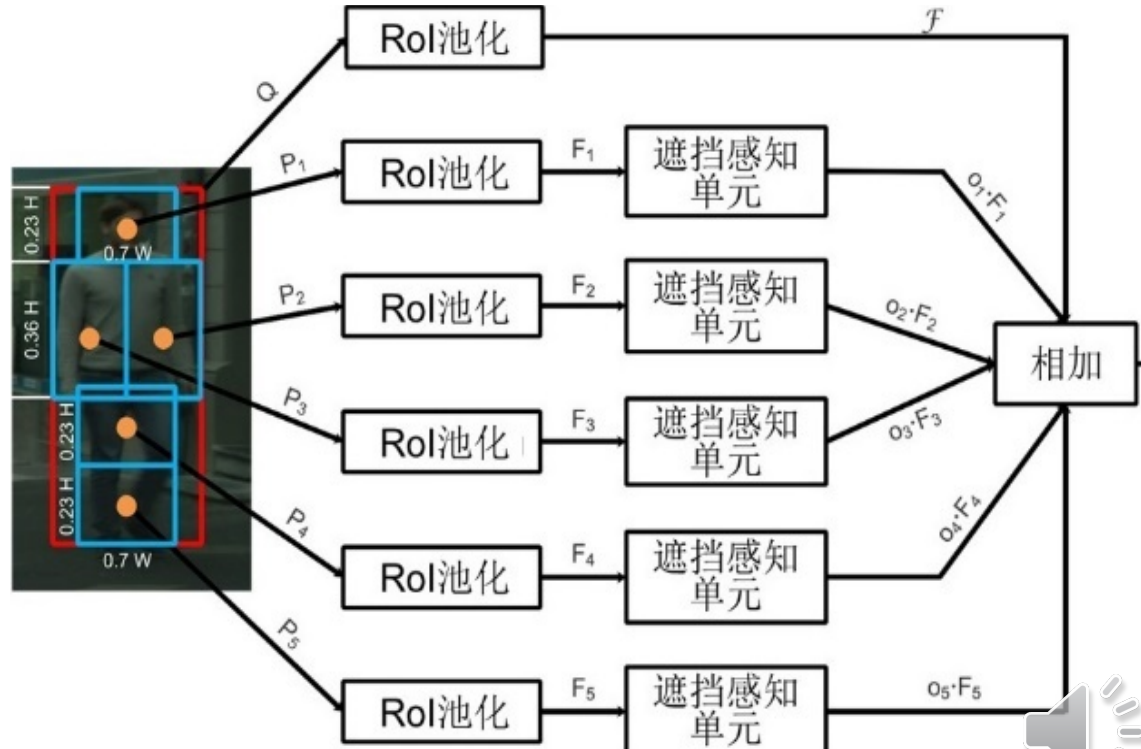
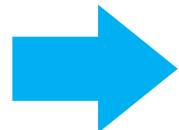


OR-CNN行人检测算法：类间互遮挡

- 分块遮挡感知的特征融合操作



类间互遮挡



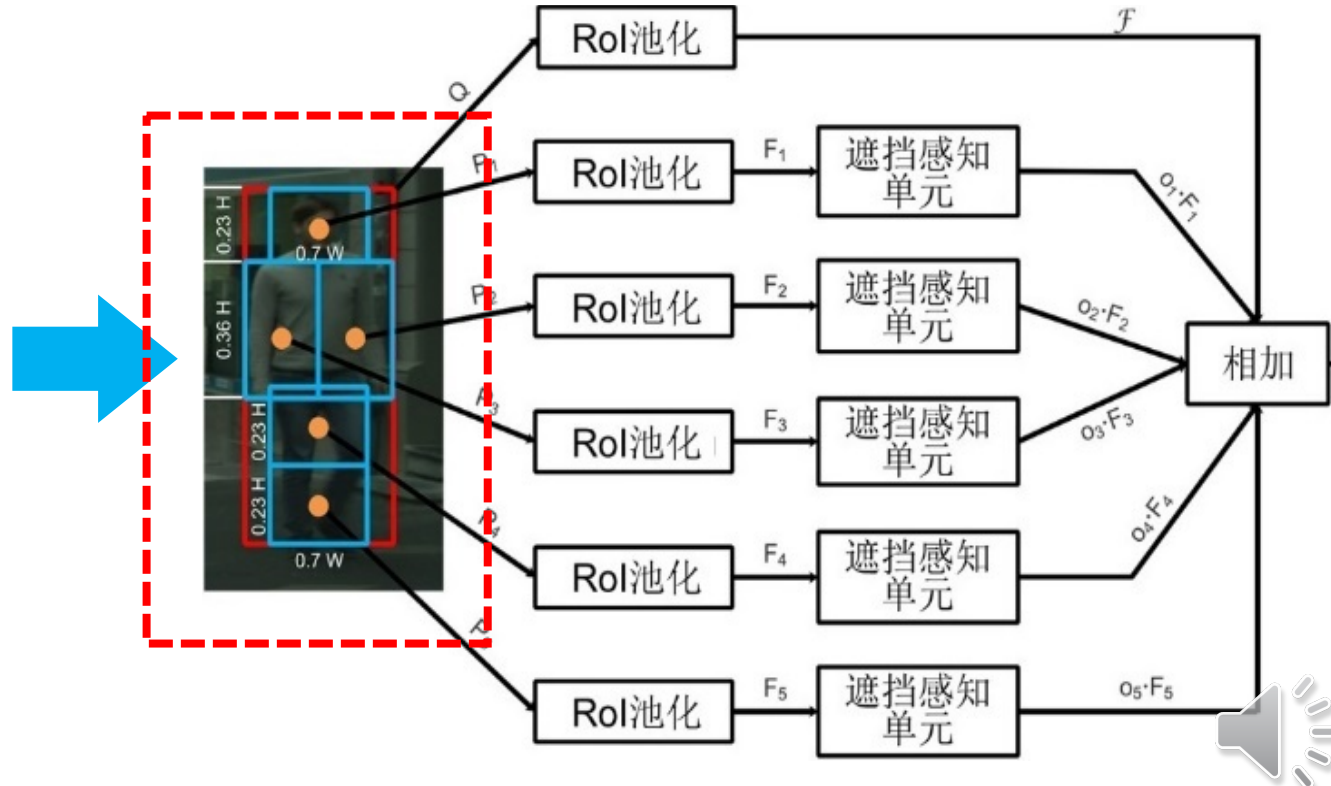


OR-CNN行人检测算法：类间互遮挡

- 分块遮挡感知的特征融合操作



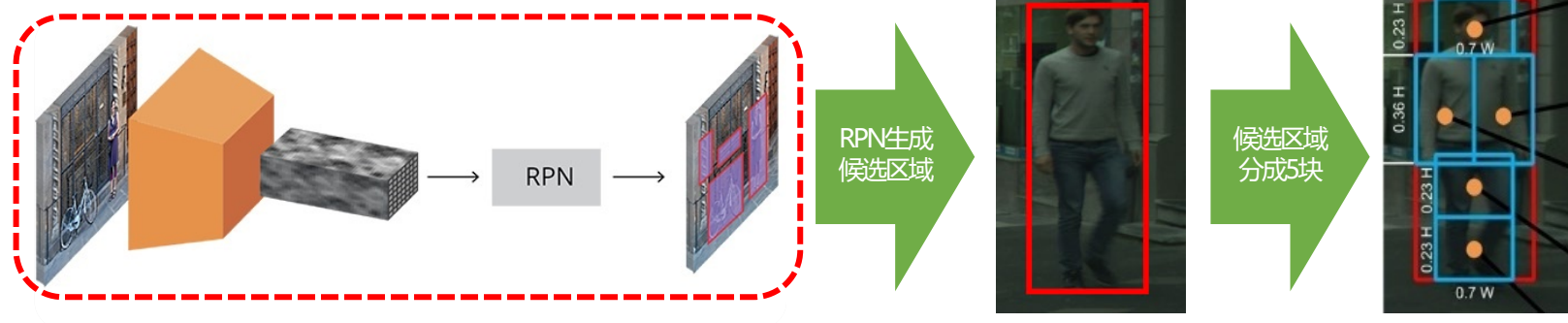
类间互遮挡





OR-CNN行人检测算法：类间互遮挡

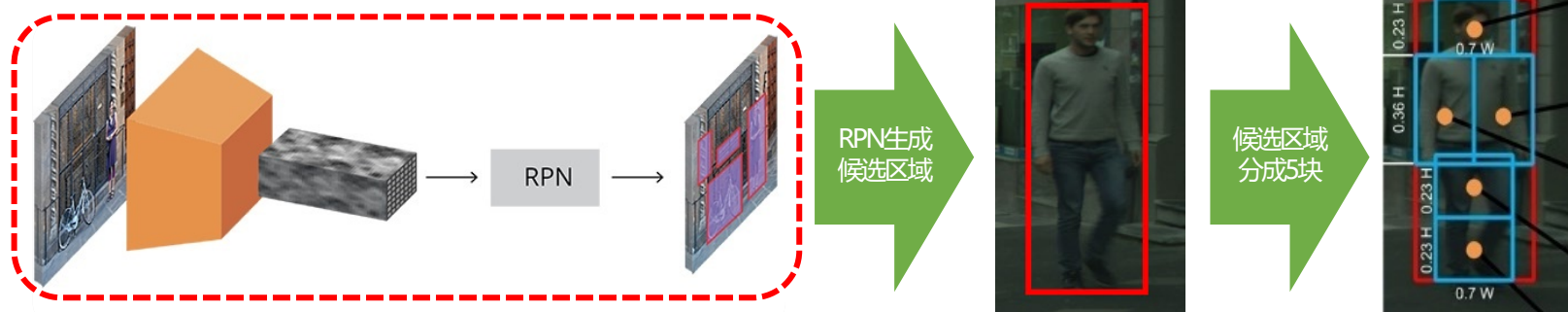
- 候选区域分块：把每个候选区域分为5个部件



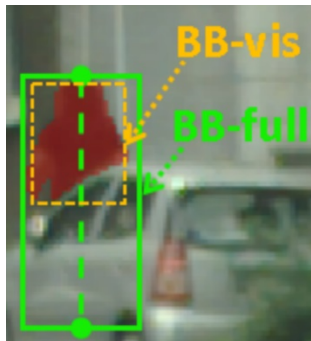


OR-CNN行人检测算法：类间互遮挡

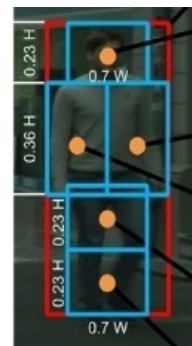
- 候选区域分块：把每个候选区域分为5个部件



- 部件可见性：判断每个部件是否可见，可见为1，不可见为0



- 每个行人都有2个标注
- BB-full：完整行人的标注框
- BB-vis：可见区域的标注框
- 把BB-full分成5个部件，若部
件有50%可见记为1，否则为0



1	
1	
1	1
1	



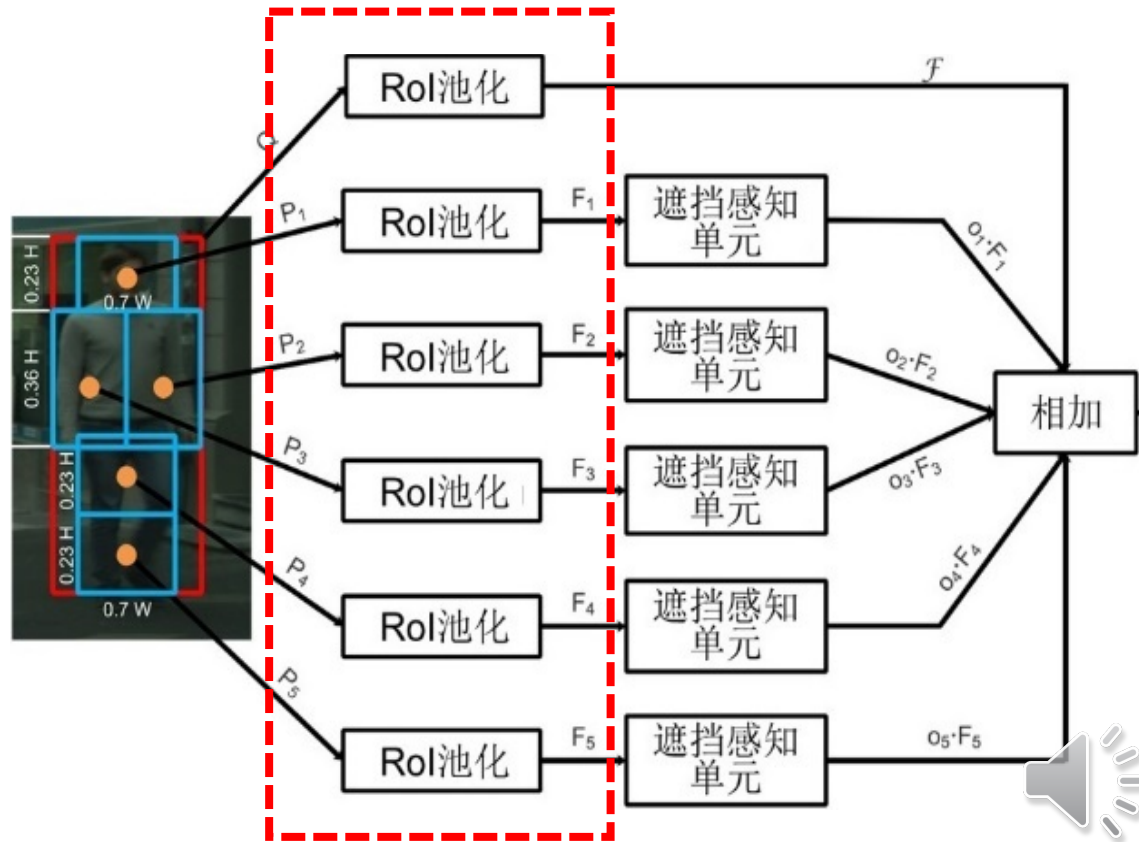


OR-CNN行人检测算法：类间互遮挡

- #### ■ 分块遮挡感知的特征融合操作



类间互遮挡



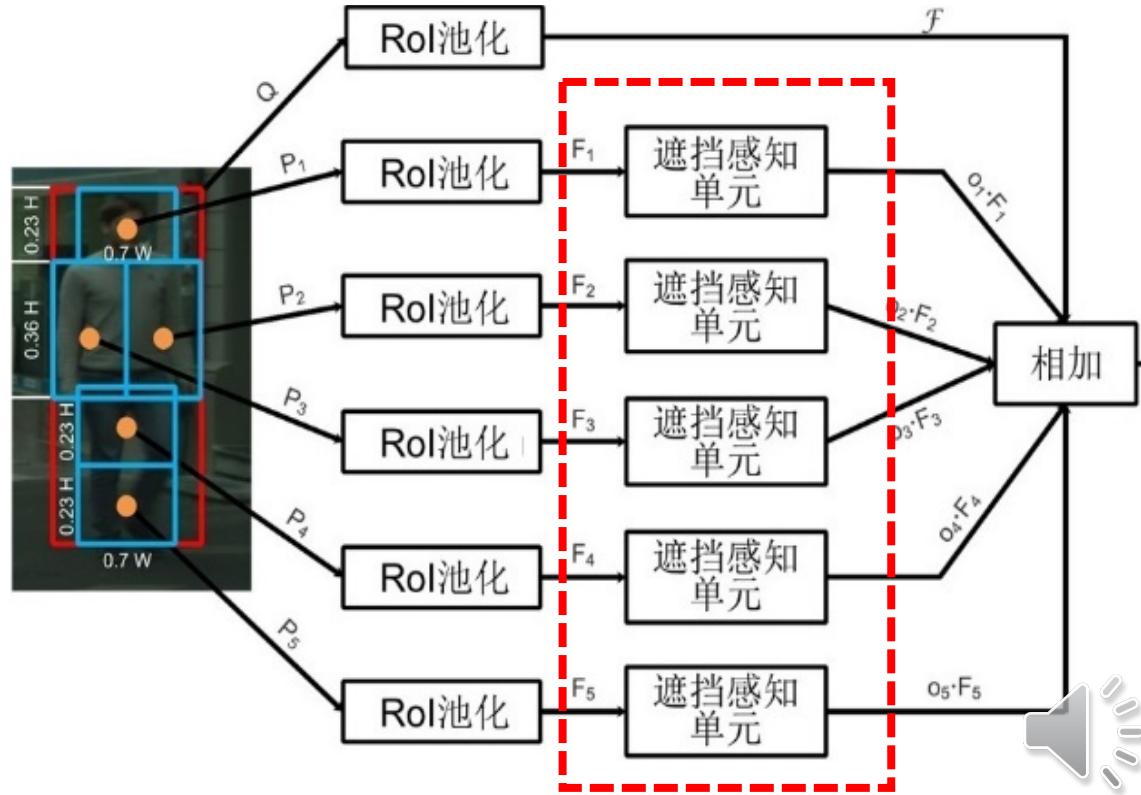
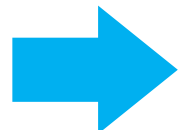


OR-CNN行人检测算法：类间互遮挡

- 分块遮挡感知的特征融合操作



类间互遮挡

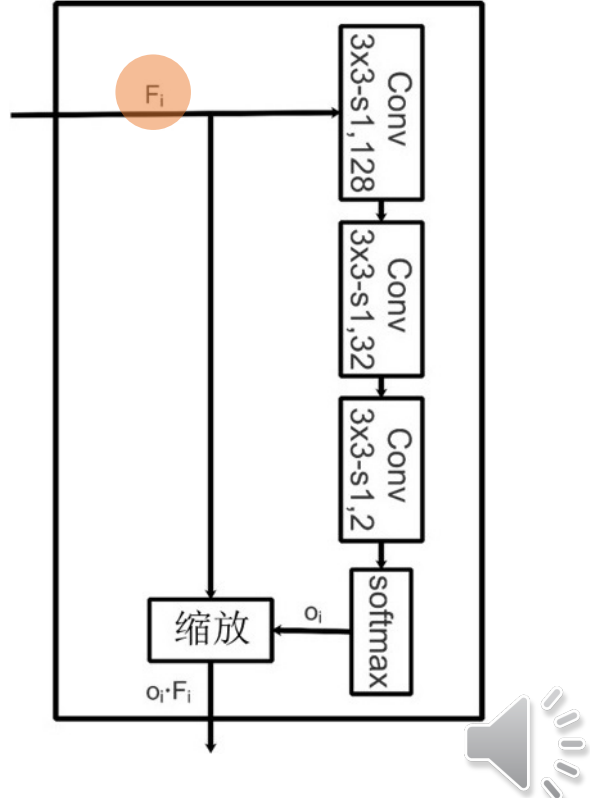




OR-CNN行人检测算法：类间互遮挡

■ 部件可见性的预测

- 每个部件经过RoIPooling扣出 $7 \times 7 \times 512$ 的特征 F

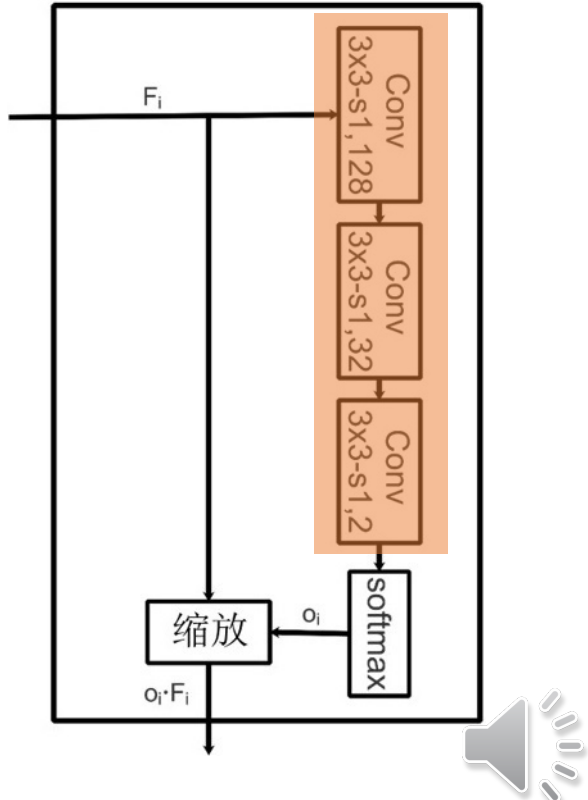




OR-CNN行人检测算法：类间互遮挡

■ 部件可见性的预测

- 每个部件经过RoIPooling扣出 $7 \times 7 \times 512$ 的特征 F
- 经过3个不补零的卷积层 $3 \times 3 \times 128$ 、 $3 \times 3 \times 32$ 、 $3 \times 3 \times 2$ ，输出一个 $1 \times 1 \times 2$ 的特征来做二分类任务

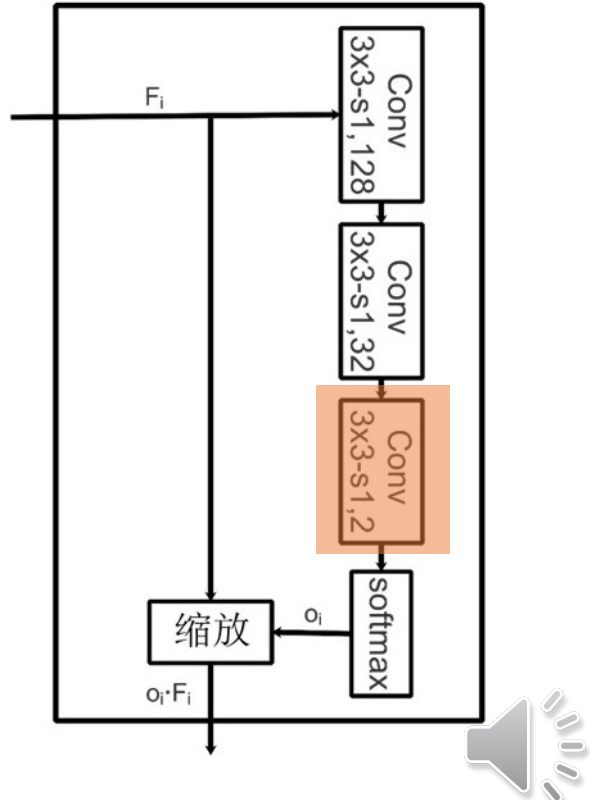




OR-CNN行人检测算法：类间互遮挡

■ 部件可见性的预测

- 每个部件经过RoIPooling扣出 $7 \times 7 \times 512$ 的特征 F
- 经过3个不补零的卷积层 $3 \times 3 \times 128$ 、 $3 \times 3 \times 32$ 、 $3 \times 3 \times 2$ ，输出一个 $1 \times 1 \times 2$ 的特征来做二分类任务
- $1 \times 1 \times 2$ 特征 $[o_i, i]$ 代表着可见的预测值和不可见的预测值

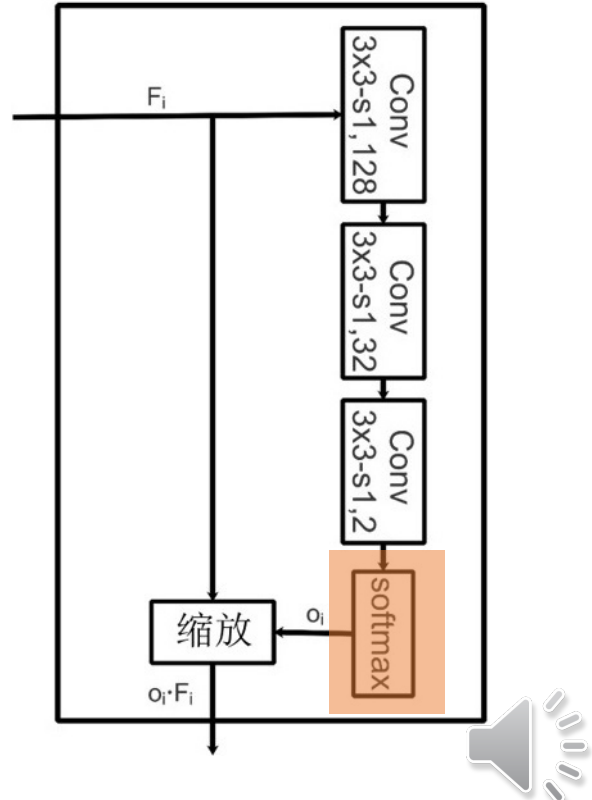




OR-CNN行人检测算法：类间互遮挡

■ 部件可见性的预测

- 每个部件经过RoIPooling扣出 $7 \times 7 \times 512$ 的特征 F
- 经过3个不补零的卷积层 $3 \times 3 \times 128$ 、 $3 \times 3 \times 32$ 、 $3 \times 3 \times 2$ ，输出一个 $1 \times 1 \times 2$ 的特征来做二分类任务
- $1 \times 1 \times 2$ 特征 $[o_i, i]$ 代表着可见的预测值和不可见的预测值
- 把预测值和真实值送入softmax损失函数进行训练

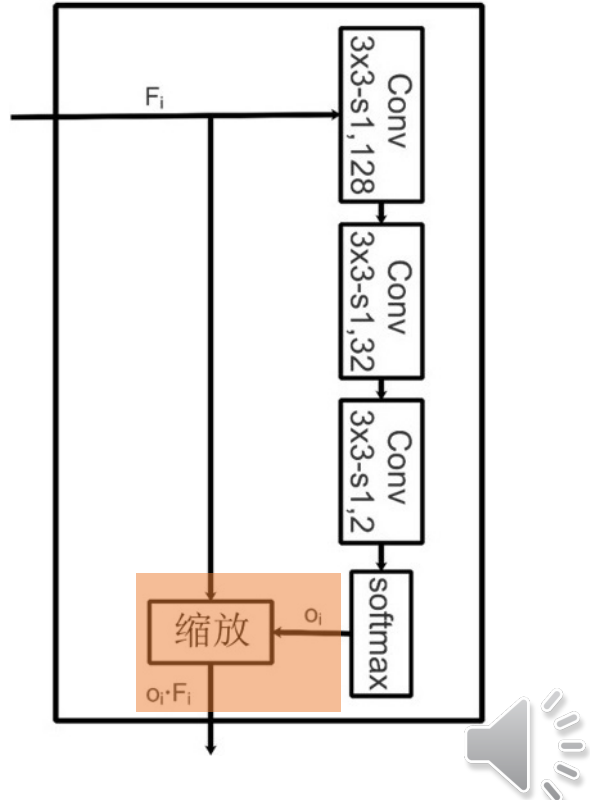




OR-CNN行人检测算法：类间互遮挡

■ 部件可见性的预测

- 每个部件经过RoIPooling扣出 $7 \times 7 \times 512$ 的特征 F
- 经过3个不补零的卷积层 $3 \times 3 \times 128$ 、 $3 \times 3 \times 32$ 、 $3 \times 3 \times 2$ ，输出一个 $1 \times 1 \times 2$ 的特征来做二分类任务
- $1 \times 1 \times 2$ 特征 $[o_i, i]$ 代表着可见的预测值和不可见的预测值
- 把预测值和真实值送入softmax损失函数进行训练
- 取出预测值中的可见性得分 o_i ，乘以原始 $7 \times 7 \times 512$ 特征 F ，输出经过可见性得分缩放后的特征 $o_i \cdot F_i$



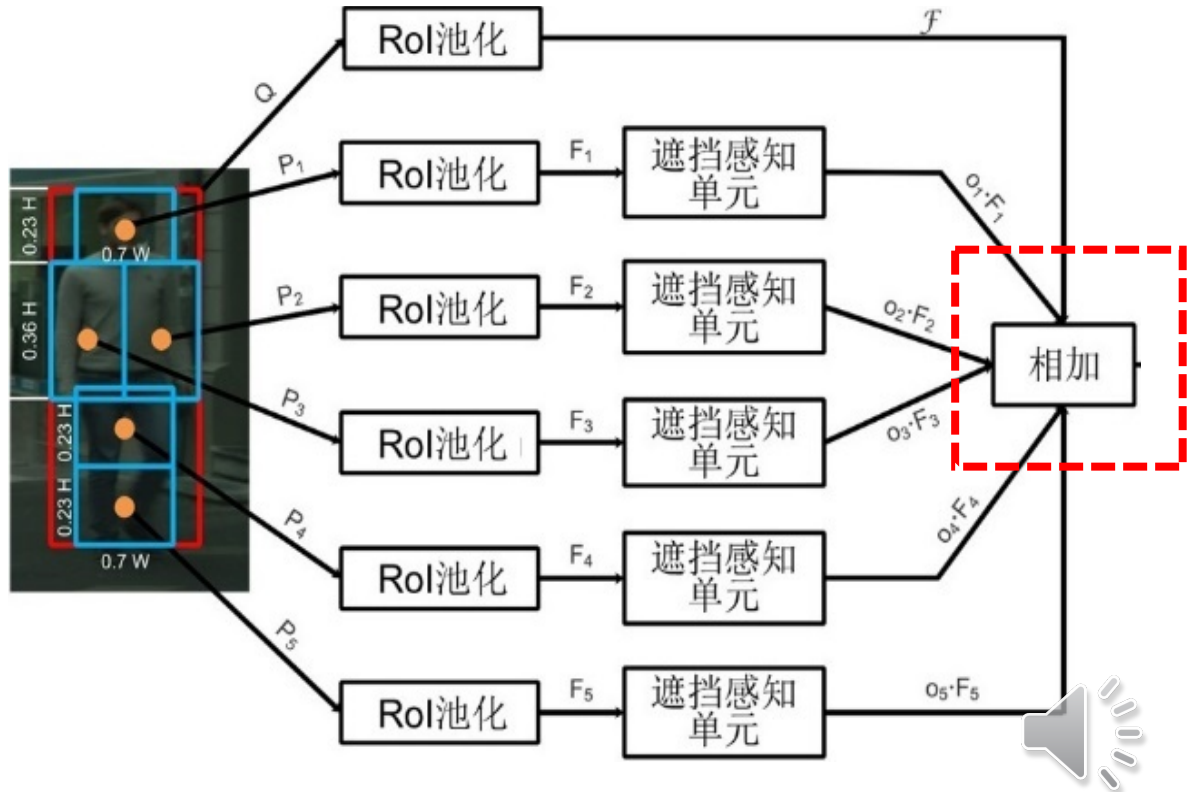
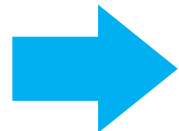


OR-CNN行人检测算法：类间互遮挡

- 分块遮挡感知的特征融合操作: $F_{out} = F + o_1 \cdot F_1 + o_2 \cdot F_2 + o_3 \cdot F_3 + o_4 \cdot F_4 + o_5 \cdot F_5$



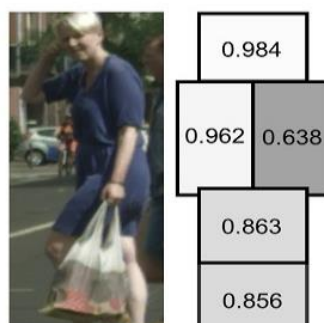
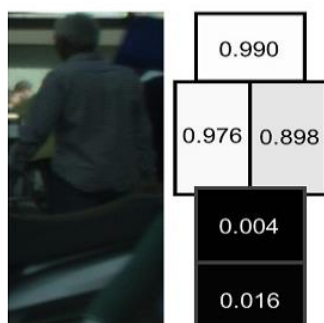
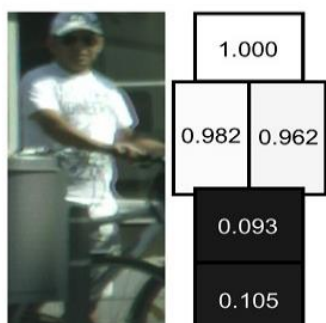
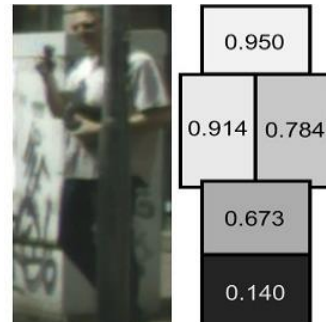
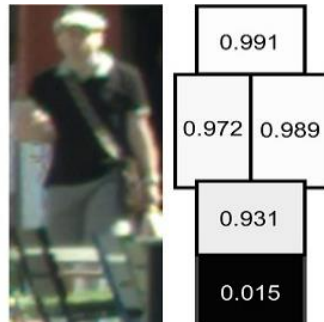
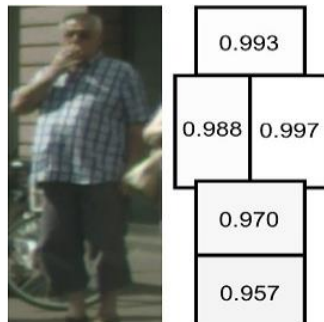
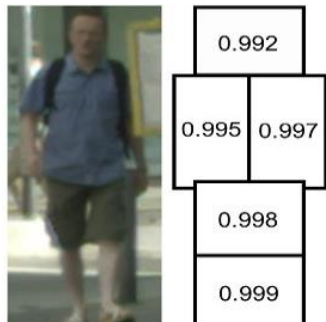
类间互遮挡





OR-CNN行人检测算法：类间互遮挡

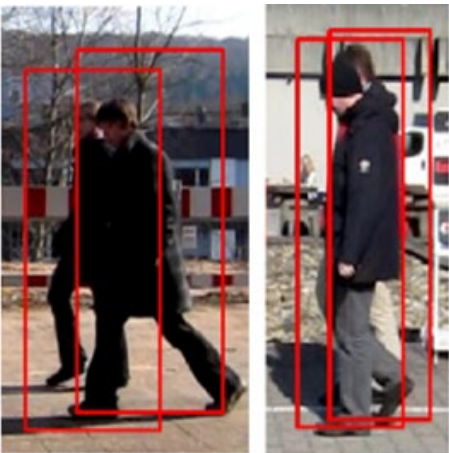
- 分块遮挡感知的特征融合操作：加强可见区域的特征，弱化遮挡区域的特征，从而提取有效特征



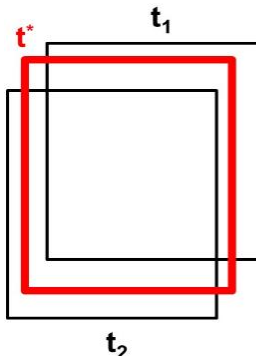
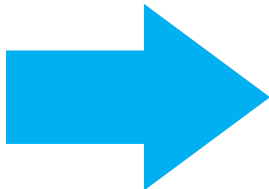


OR-CNN行人检测算法：类内自遮挡

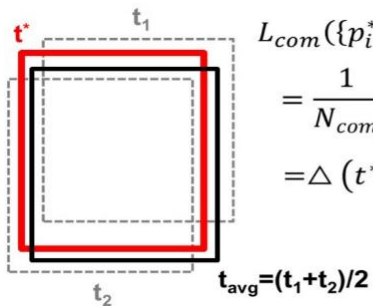
■ 聚合损失函数



类内自遮挡



$$\begin{aligned}L_{reg}(\{p_i^*\}, \{t_i\}, \{t_i^*\}) \\= \frac{1}{N_{reg}} \sum_i p_i^* \Delta (t_i^* - t_i) \\= \frac{1}{2} [\Delta (t^* - t_1) + \Delta (t^* - t_2)]\end{aligned}$$



$$\begin{aligned}L_{com}(\{p_i^*\}, \{t_i\}, \{t_i^*\}) \\= \frac{1}{N_{com}} \sum_{i=1}^p \Delta \left(\tilde{t}_i^* - \frac{1}{|\phi_i|} \sum_{j \in \phi_i} t_j \right) \\= \Delta (t^* - t_{avg})\end{aligned}$$

- t_1 和 t_2 是两个检测结果框
- t^* 是一个真实标注框
- t_{avg} 是 t_1 和 t_2 检测结果框的平均框

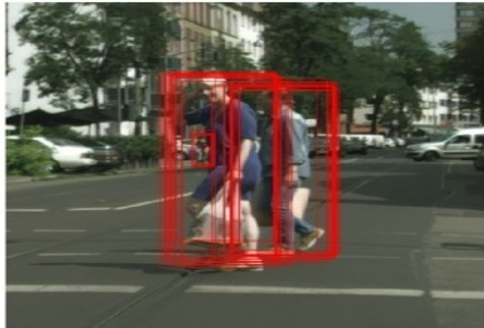




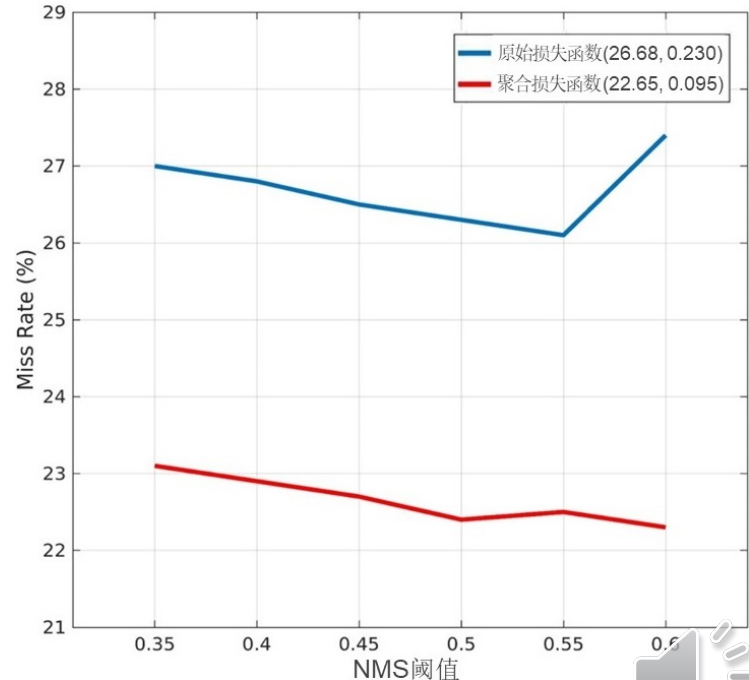
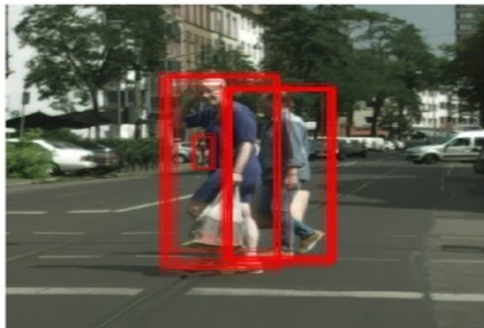
OR-CNN行人检测算法：类内自遮挡

- 聚合损失函数：每个行人对应的检测结果更加紧凑，对NMS阈值更加鲁棒

原始损失函数



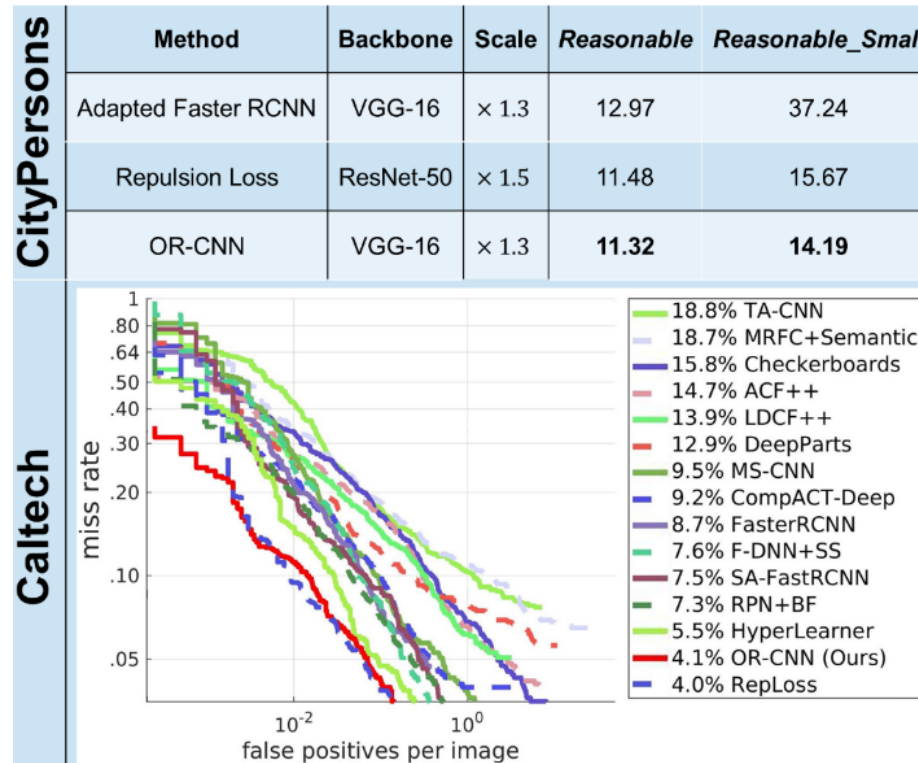
聚合损失函数





OR-CNN行人检测算法：检测精度

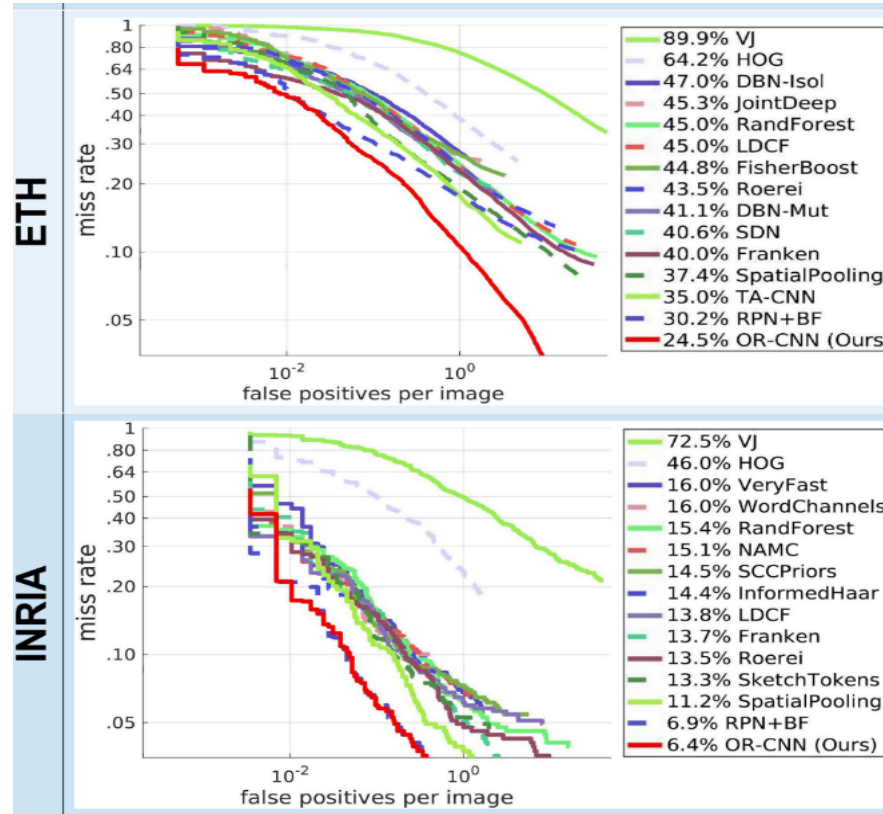
- 常用行人检测数据集上
- 取得最佳的性能
- CityPersons: 11.32%
- Caltech: 4.1%
- ETH: 24.5%
- INRIA: 6.4%





OR-CNN行人检测算法：检测精度

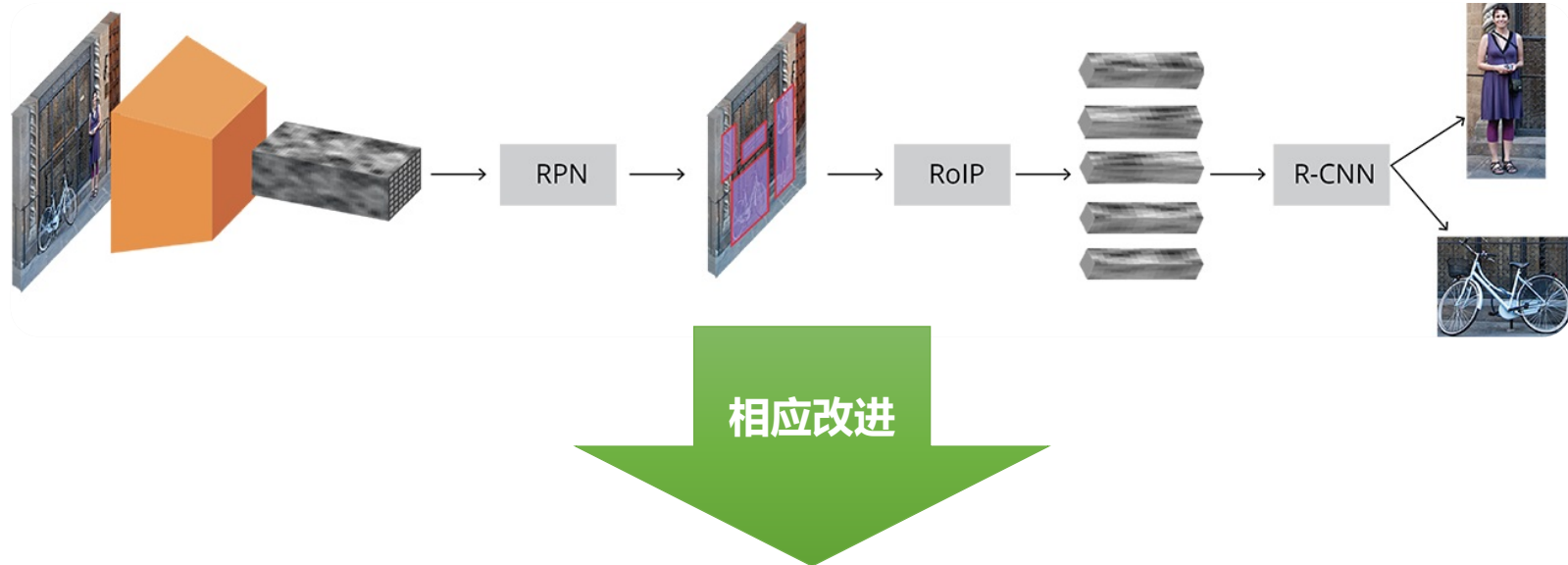
- 常用行人检测数据集上
- 取得最佳的性能
- CityPersons: 11.32%
- Caltech: 4.1%
- ETH: 24.5%
- INRIA: 6.4%





深度学习后期行人检测算法

- 深度学习后期行人检测算法：对**通用物体检测算法Faster R-CNN**进行**相应改进**，应用于**行人检测领域**



行人检测算法

Adapted FasterRCNN

Repulsion Loss

OR-CNN

JointDet





深度学习后期行人检测算法：JointDet

- 2020年AAAI上发表的行人检测算法，基于通用物体检测算法Faster R-CNN
- 利用人头人体的结构关系进行联合检测，抑制人头虚检，召回人体漏检

Relational Learning for Joint Head and Human Detection

Cheng Chi^{1,3*}, Shifeng Zhang^{2,3*}, Junliang Xing^{2,3}, Zhen Lei^{2,3}, Stan Z. Li^{2,3}, Xudong Zou^{1,3}

¹ Institute of Electronics, Chinese Academy of Sciences, Beijing, China

²CBSR & NLPR, Institute of Automation, Chinese Academy of Sciences, Beijing, China

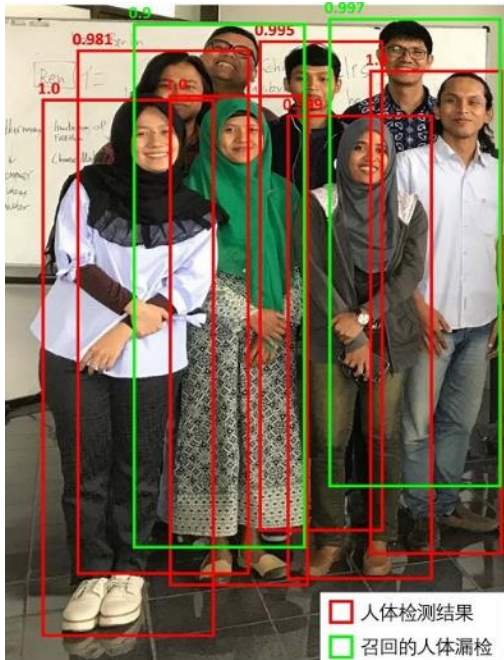
³University of Chinese Academy of Sciences, Beijing, China





JointDet行人检测算法：背后动机

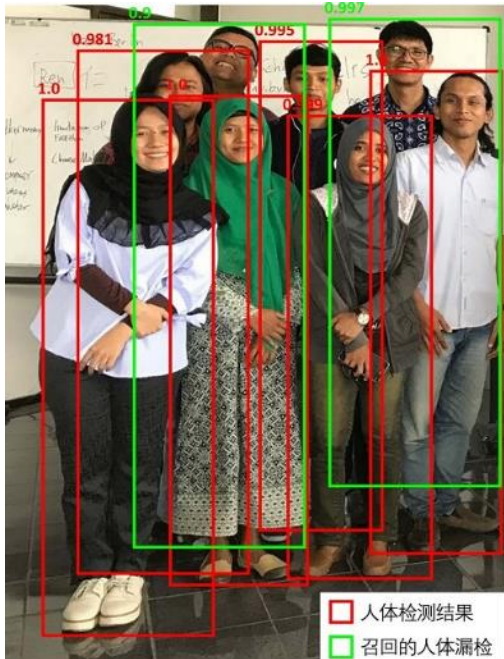
- **密集人群中的行人检测：**行人之间遮挡程度很严重，NMS会错误地抑制掉正确的检测结果





JointDet行人检测算法：背后动机

- **密集人群中的行人检测：**行人之间遮挡程度很严重，NMS会错误地抑制掉正确的检测结果



行人检测的问题

- **复杂场景下的人头检测：**缺少上下文信息，容易出现类似人头的虚检



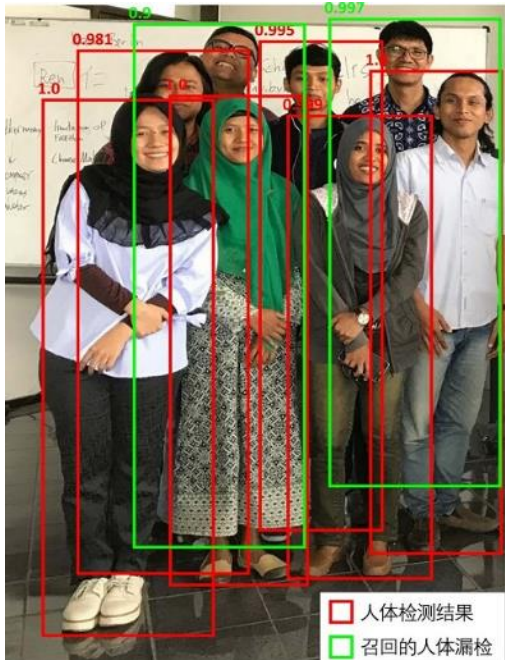
人头检测的问题





JointDet行人检测算法：背后动机

- **密集人群中的行人检测：**行人之间遮挡程度很严重，NMS会错误地抑制掉正确的检测结果



行人检测的问题

- **复杂场景下的人头检测：**缺少上下文信息，容易出现类似人头的虚检



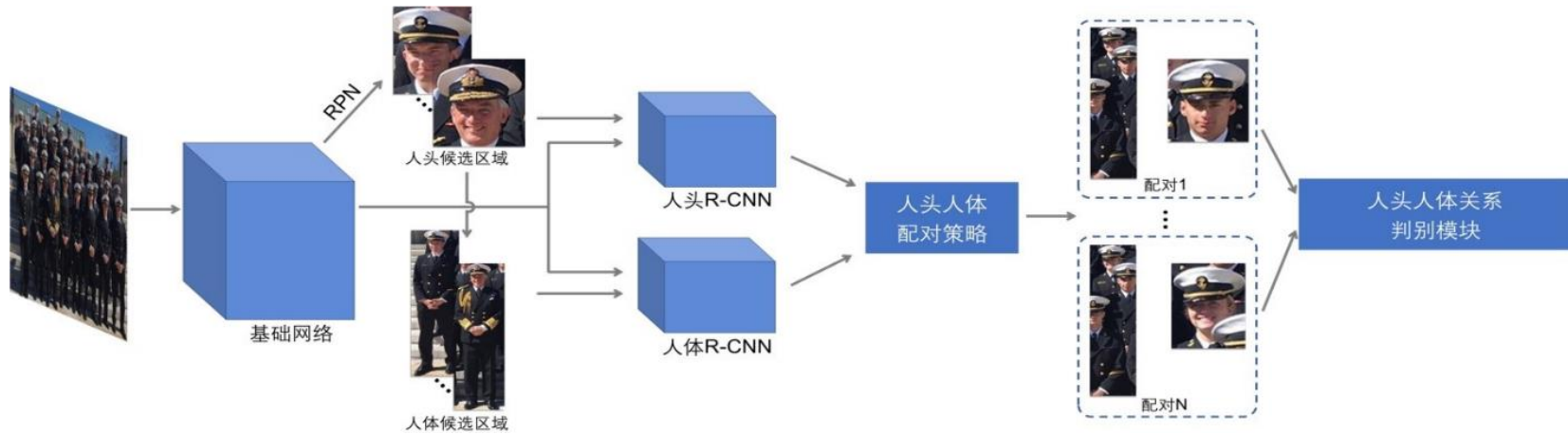
人头检测的问题

利用人头人体的
结构关系进行联
合检测，来同时
解决这2个问题



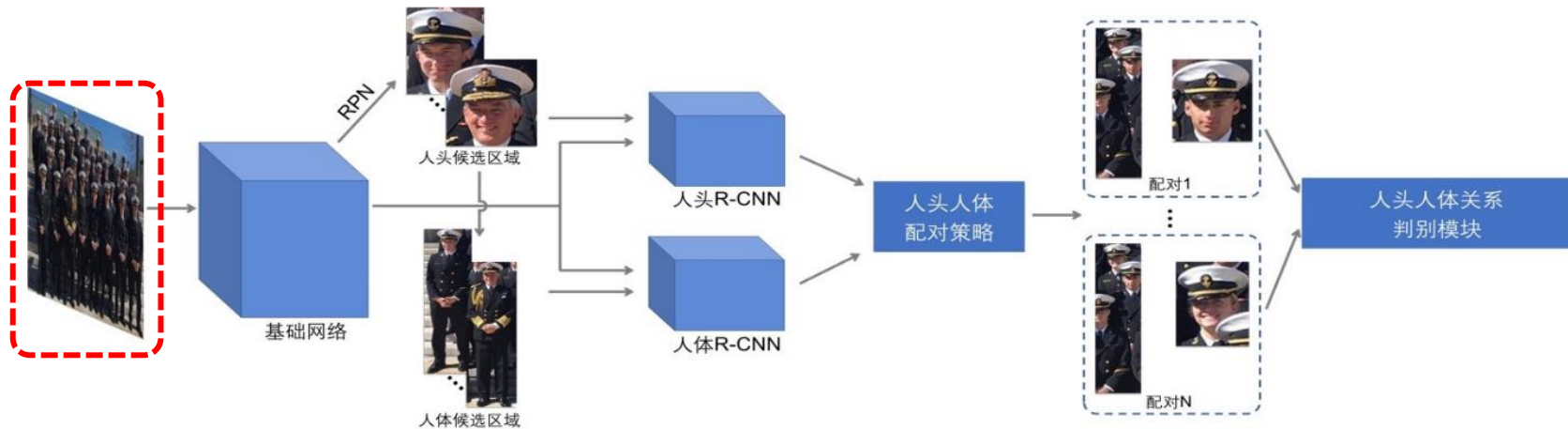


JointDet行人检测算法：整体框架





JointDet行人检测算法：整体框架

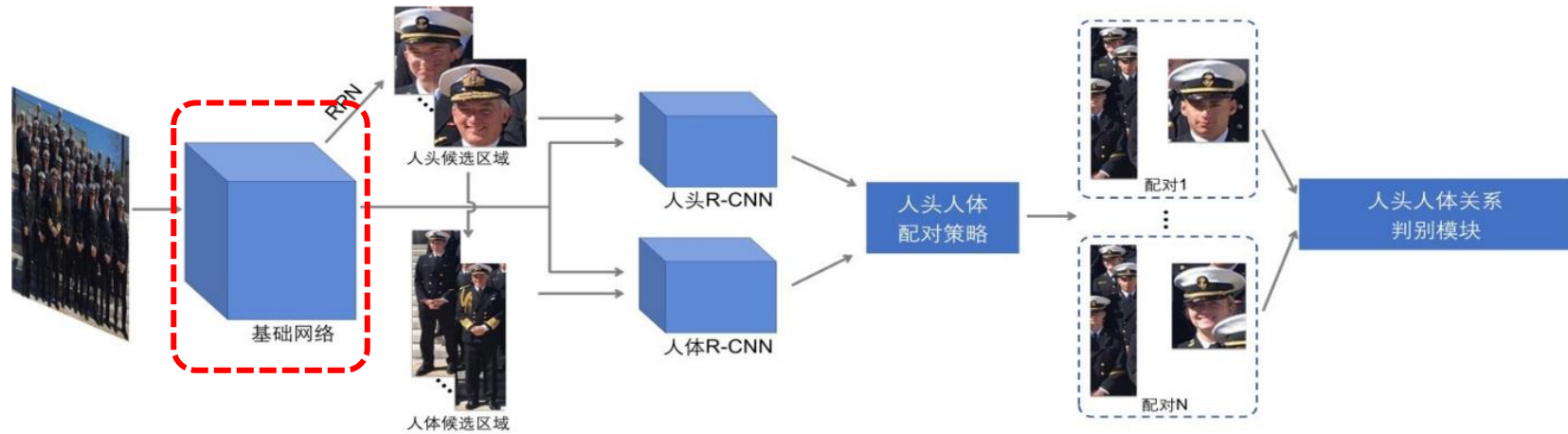


- 输入图像 + 人头标注 + 人体标注





JointDet行人检测算法：整体框架

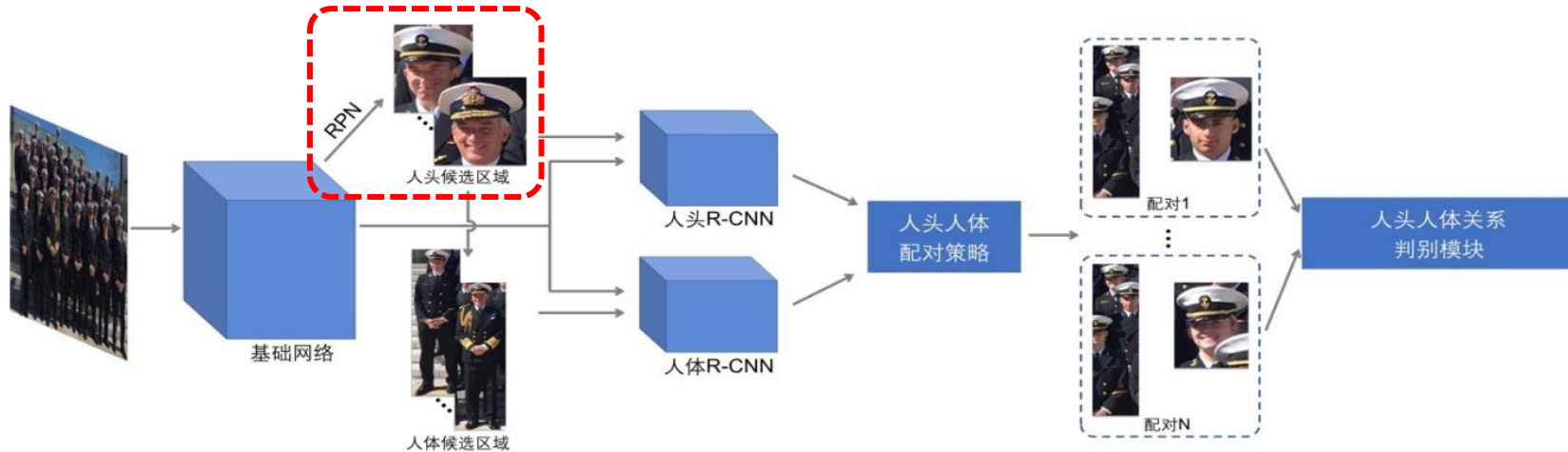


- 基础网络ResNet-50





JointDet行人检测算法：整体框架

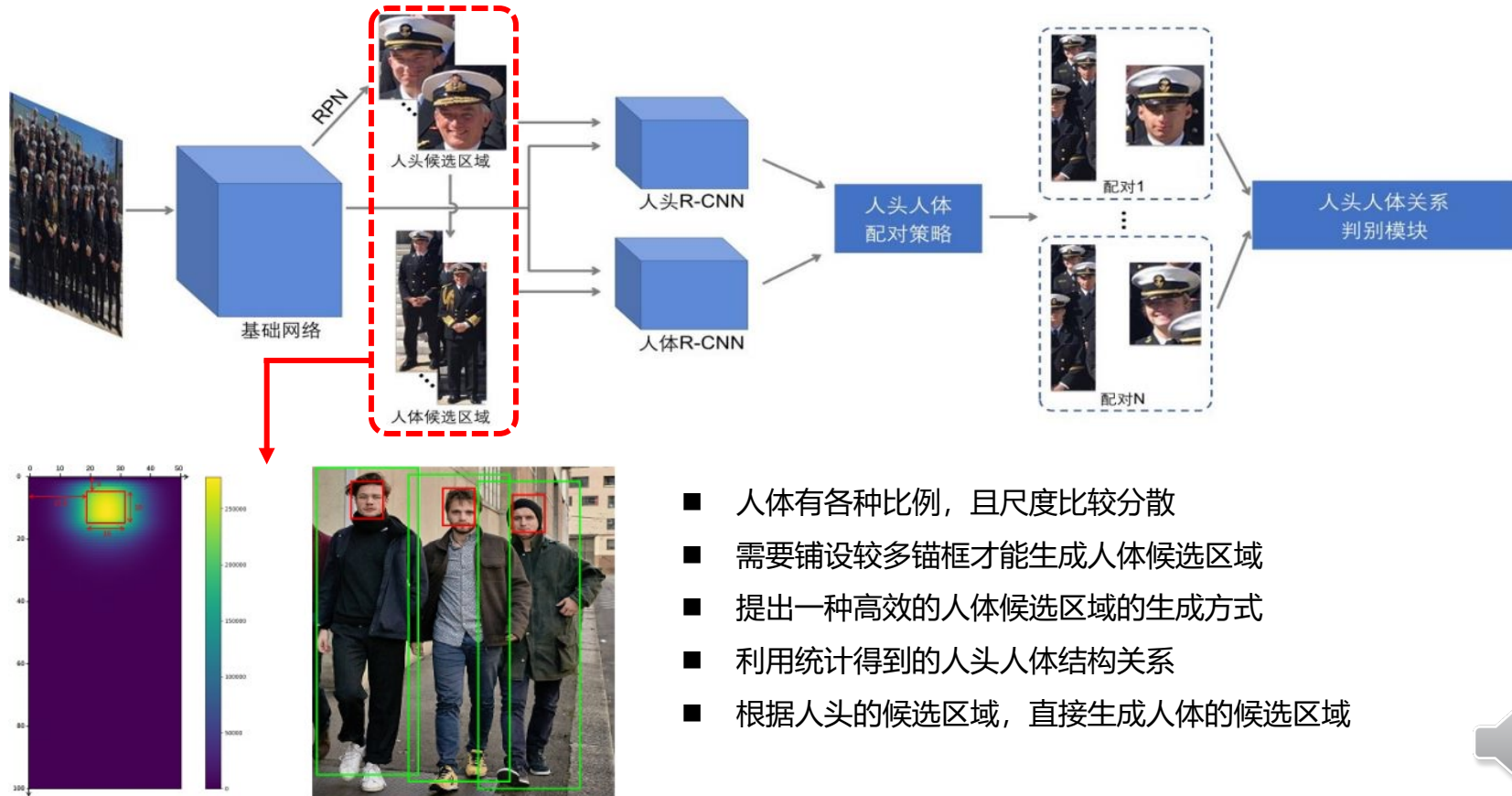


- 利用RPN仅生成人头的候选区域
- 人头的长宽比例固定为1:1，其尺度较集中
- 可以铺设较少锚框，高效生成人头的候选区域



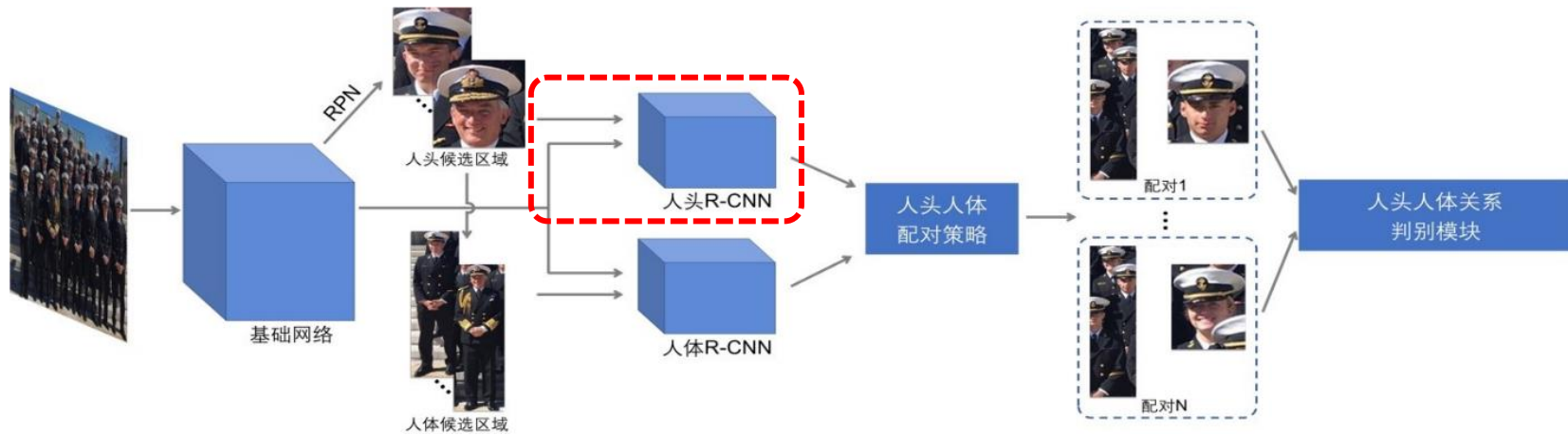


JointDet行人检测算法：联合检测





JointDet行人检测算法：联合检测

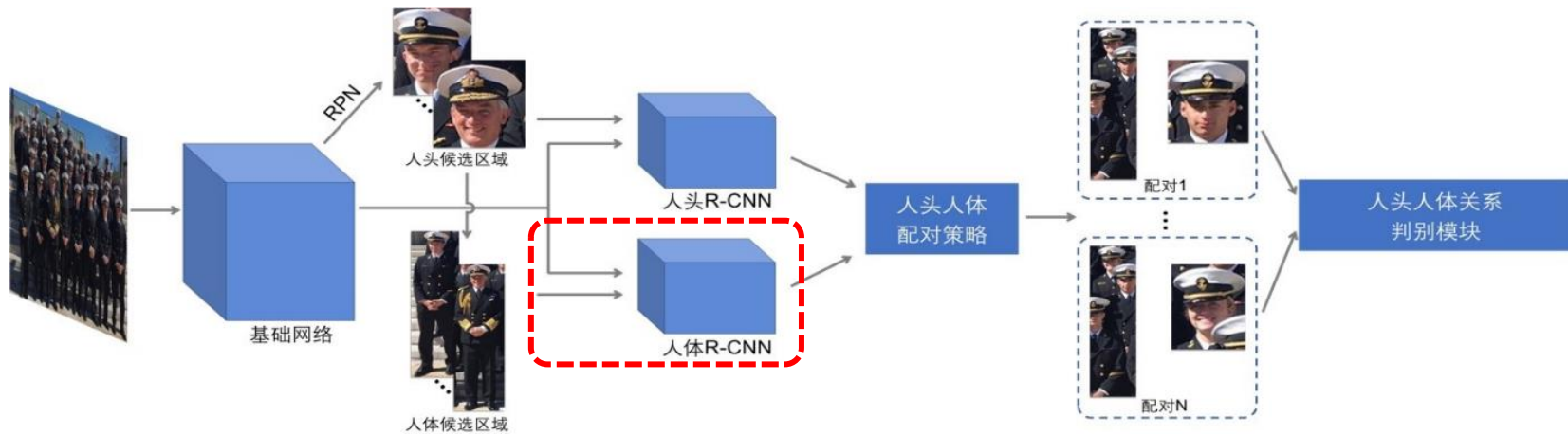


- 扣取人头候选区域的特征，送入人头R-CNN分支，进行下一步分类和回归





JointDet行人检测算法：联合检测

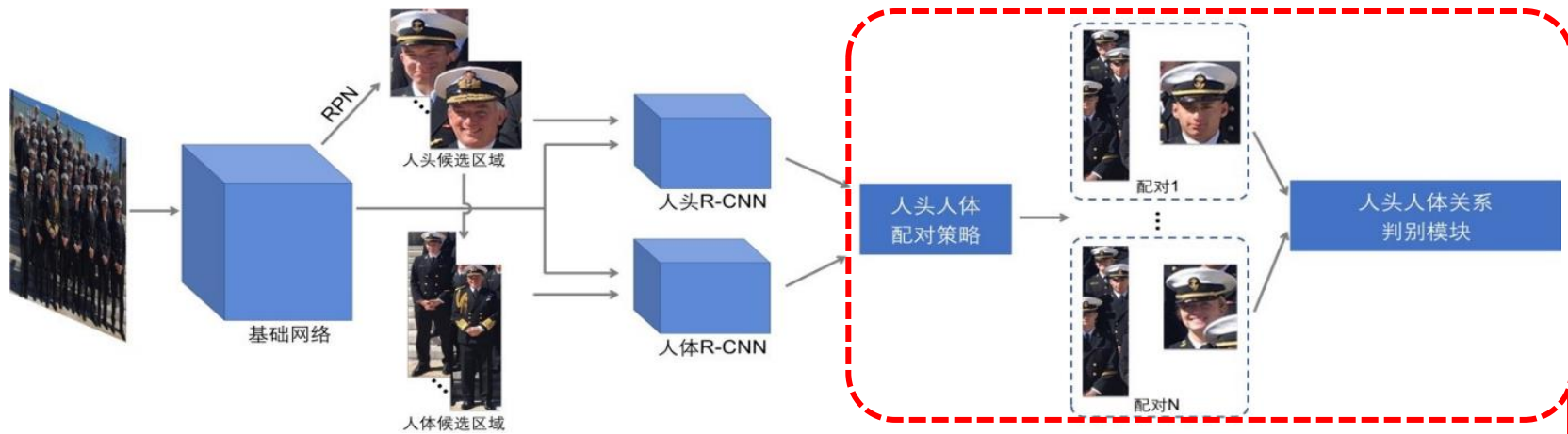


- 扣取人体候选区域的特征，送入人体R-CNN分支，进行下一步分类和回归





JointDet行人检测算法：关系学习



- 人体是由人头生成，所以存在一一对应关系
- 找出那些没有对应的人体检测结果的人头检测结果
- 如果它对应的人体检测结果得分很高，那么召回这个人体检测结果
- 如果它对应的人体检测结果得分很低，那么抑制该人头检测结果





JointDet行人检测算法：检测精度

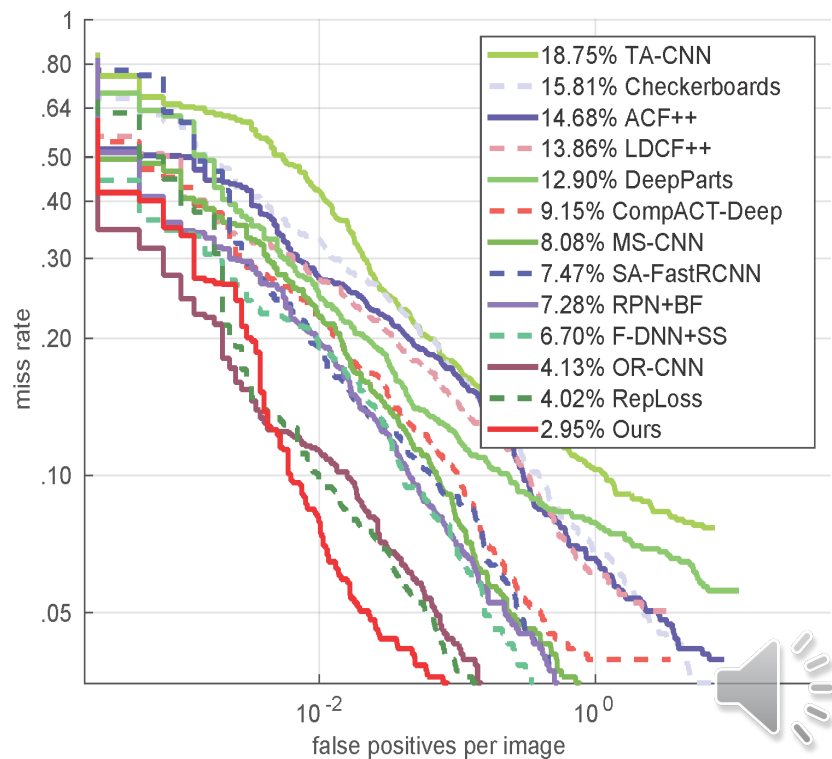
■ CrowdHuman数据集

Source	Method	Head	Human
CrowdHuman	FPN-Head	52.1	-
	FPN-Human	-	50.4
Ours	FPN-Head	48.9	-
	FPN-Human	-	49.7
	FPN-Human-Cascade	-	49.2
	JointDet w/o RDM	48.7	47.0
	JointDet	48.3	46.5

■ CityPersons数据集

Method	Backbone	Scale	Reasonable
TLL(MRF)	ResNet-50	-	14.40
	Adapted FasterRCNN	VGG-16	12.97
ALFNet	VGG-16	×1.3	12.00
		×1	11.60
Repulsion Loss	ResNet-50	×1.3	11.60
	PODE+RPN	VGG-16	11.24
OR-CNN	VGG-16	×1.3	11.00
JointDet (Ours)	ResNet-50	×1.3	10.23

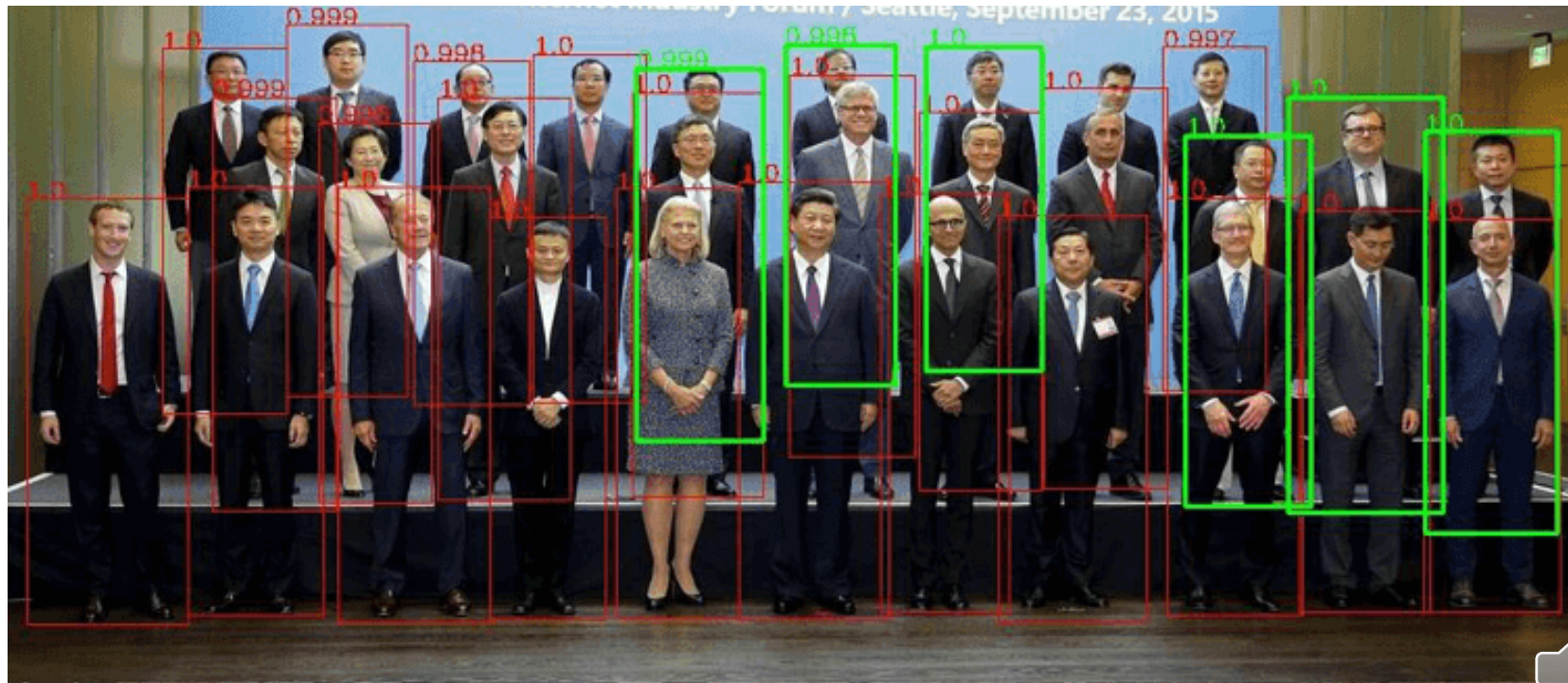
■ Caltech数据集





JointDet行人检测算法：召回漏检

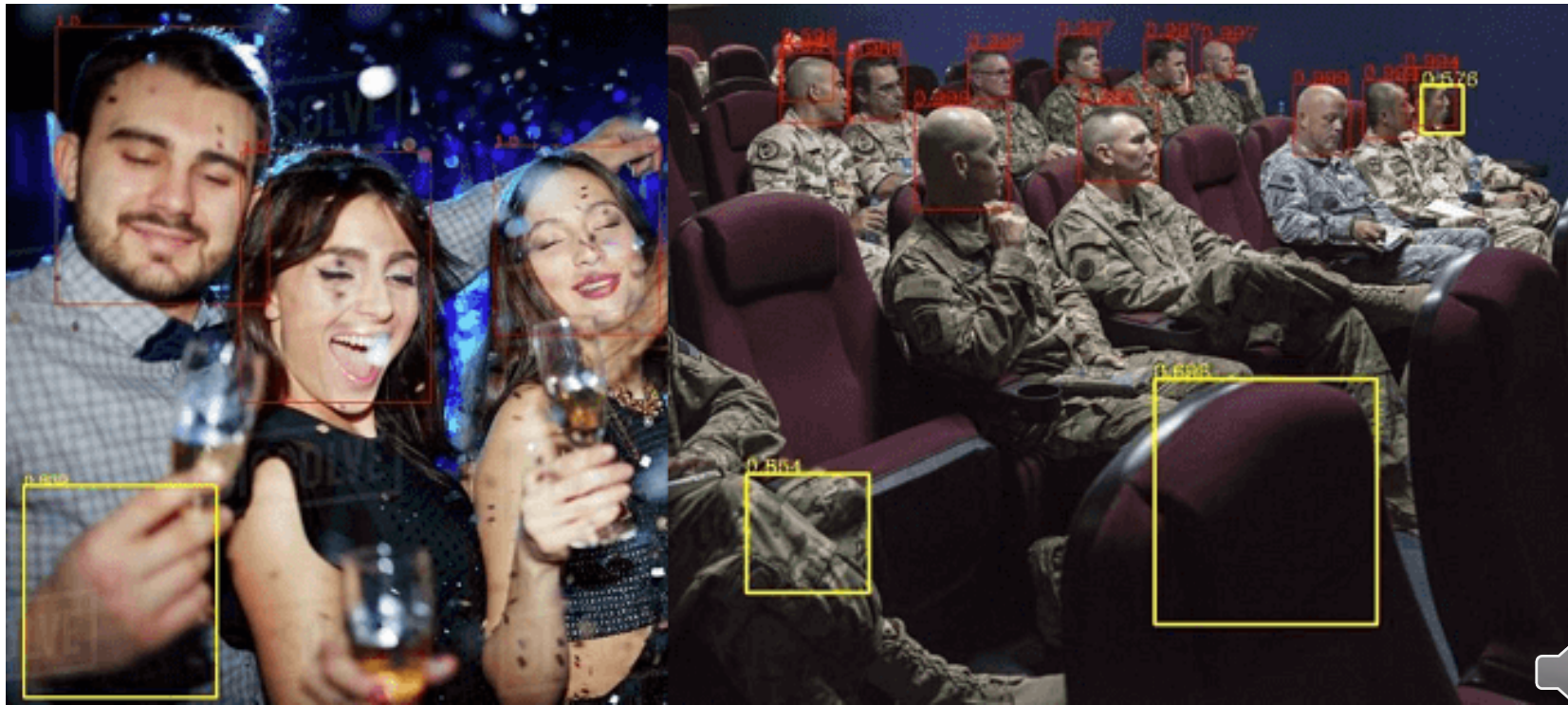
- 召回被NMS错误抑制的人体检测结果





JointDet行人检测算法：抑制虚检

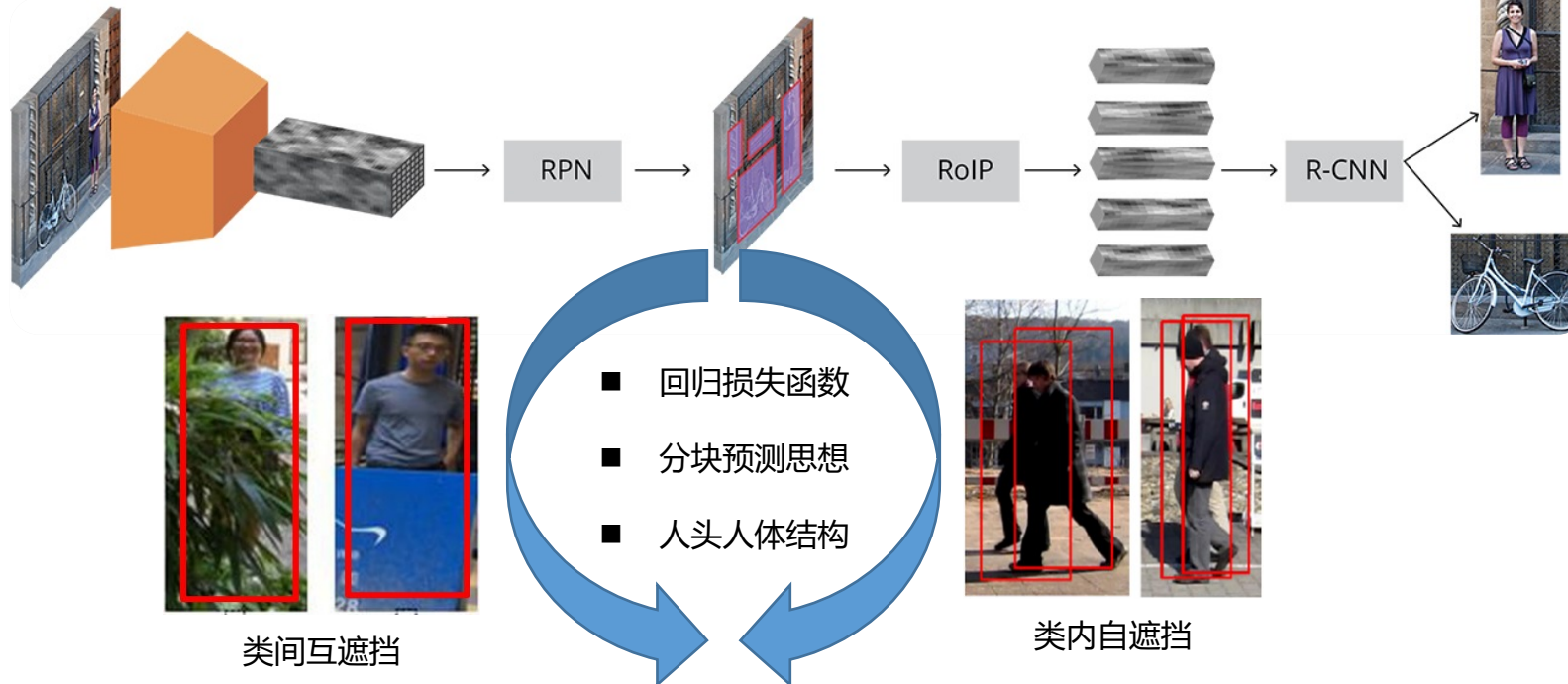
- 抑制错误的人头虚检





深度学习后期行人检测算法：总结

- 深度学习后期行人检测算法：基于**通用物体检测算法Faster R-CNN**，针对**遮挡问题**进行**相应改进**



行人检测算法

Adapted FasterRCNN

Repulsion Loss

OR-CNN

JointDet





课程作业

■ 熟悉Pedestron行人检测算法平台

1. Pedestron行人检测算法平台链接 (<https://github.com/hasanirtiza/Pedestron>)
2. 按照[安装教程](#)，利用Anaconda配置好相应的环境
3. 按照[数据教程](#)中的步骤，准备好行人检测数据集
4. 熟悉Pedestron行人检测算法平台中，实现了哪些行人检测算法
5. 下载各个行人检测算法训好的模型，分别输出demo中3张图片的检测结果图
6. (可选) 测试或训练Pedestron行人检测算法平台的现有算法





结语

感谢各位聆听！
Thanks for Listening!

